

Type	Kenndaten Typical characteristics	Grenzdaten Maximum ratings
AD 160 Germanium-pnp-Transistor als Schalter in Blitzlichtgeräten Germanium pnp transistor for electronic flash lamps Größe • Outlines 31	B = 155 bei $-U_{CE} = 0,5 \text{ V}$, $-I_C = 0,5 \text{ A}$ B = 105 bei $-U_{CE} = 0,5 \text{ V}$, $-I_C = 5 \text{ A}$ B = 45 bei $-U_{CE} = 0,5 \text{ V}$, $-I_C = 10 \text{ A}$ $-U_{BE} = 0,35 \text{ V}$ bei $-U_{CE} = 0,5 \text{ V}$, $-I_C = 0,5 \text{ A}$ $-U_{BE} = 0,55 \text{ V}$ bei $-U_{CE} = 0,5 \text{ V}$, $-I_C = 5 \text{ A}$ $U_{BE} = 0,75 \text{ V}$ bei $-U_{CE} = 0,5 \text{ V}$, $-I_C = 10 \text{ A}$ $f_\beta = 8 \text{ kHz}$ bei $-U_{CE} = 6 \text{ V}$, $-I_C = 0,5 \text{ A}$ $-I_{CEV} = 1 \text{ mA}$ bei $-U_{CB} = 40 \text{ V}$, $U_{BE} \geq 1 \text{ V}$	$-U_{CBO} = 40 \text{ V}$ $-U_{CEO} = 40 \text{ V}$ bei $U_{BE} \geq 1 \text{ V}$ $-U_{CEO} = 30 \text{ V}$ $-U_{EBO} = 10 \text{ V}$ $-I_C = 10 \text{ A}$ $P_{tot} = 9 \text{ W}$ bei $t_{case} = 45^\circ\text{C}$ $t_j = 90^\circ\text{C}$
		
AD 161 Germanium-npn-Leistungs- transistor für NF-Endstufen, mit AD 162 als Komplementär- pärchen lieferbar Germanium npn power trans- istor for AF power stages. Together with the AD 162, the transistor is available in complementary pairs Größe • Outlines 4	B = 80...320 bei $U_{CE} = 1 \text{ V}$, $I_C = 500 \text{ mA}$ $U_{BE} = 160 \text{ mV}$ bei $U_{CE} = 10 \text{ V}$, $I_C = 10 \text{ mA}$ $U_{BE} \leq 1,1 \text{ V}$ bei $U_{CE} = 1 \text{ V}$, $I_C = 2 \text{ A}$ $ I_{CBO} \leq 50 \mu\text{A}$ bei $U_{CB} = 20 \text{ V}$ $ I_{CBO} \leq 500 \mu\text{A}$ bei $U_{CB} = 32 \text{ V}$ $f_\beta = 35 \text{ kHz}$ bei $U_{CE} = 2 \text{ V}$, $I_C = 0,3 \text{ A}$	$U_{CBO} = 32 \text{ V}$ $U_{CEO} = 20 \text{ V}$ $U_{EBO} = 10 \text{ V}$ $ I_{CM} = 3 \text{ A}$ $P_{tot} = 4 \text{ W}$ bei $t_{case} = 60^\circ\text{C}$ $t_j = 90^\circ\text{C}$
		
AD 162 Germanium-pnp-Leistungs- transistor für NF-Endstufen, mit AD 161 als Komplementär- pärchen lieferbar Germanium pnp power trans- istor for AF power stages. Together with the AD 161, the transistor is available in complementary pairs Größe • Outlines 4	B = 80...320 bei $-U_{CE} = 1 \text{ V}$, $-I_C = 500 \text{ mA}$ $-U_{BE} = 160 \text{ mV}$ bei $-U_{CE} = 10 \text{ V}$, $-I_C = 10 \text{ mA}$ $-U_{BE} \leq 1,1 \text{ V}$ bei $-U_{CE} = 1 \text{ V}$, $-I_C = 2 \text{ A}$ $- I_{CBO} \leq 40 \mu\text{A}$ bei $-U_{CB} = 20 \text{ V}$ $- I_{CBO} \leq 200 \mu\text{A}$ bei $-U_{CB} = 32 \text{ V}$ $f_\beta = 15 \text{ kHz}$ bei $-U_{CE} = 2 \text{ V}$, $-I_C = 0,3 \text{ A}$	$-U_{CBO} = 32 \text{ V}$ $-U_{CEO} = 20 \text{ V}$ $-U_{EBO} = 10 \text{ V}$ $- I_{CM} = 3 \text{ A}$ $- I_C = 1 \text{ A}$ $P_{tot} = 6 \text{ W}$ bei $t_{case} = 60^\circ\text{C}$ $t_j = 90^\circ\text{C}$
		
AD 164 Germanium-pnp-Leistungs- transistor für Komplementär- NF-Endstufen mit Ausgangs- Leistungen bis 6 W (kann mit dem AD 165 als Komplementär- Pärchen geliefert werden) Germanium pnp power transistor for complementary AF-power stages up to 6W (complementary pairs with AD 165 can be delivered) Größe • Outlines 4	B = 130 bei $-U_{CE} = 6 \text{ V}$, $-I_C = 50 \text{ mA}$ B = 185 bei $-U_{CE} = 1 \text{ V}$, $-I_C = 500 \text{ mA}$ $-U_{BE} = 180 \text{ mV}$ bei $-U_{CE} = 6 \text{ V}$, $-I_C = 10 \text{ mA}$ $-U_{BE} = 400 \text{ mV}$ bei $-U_{CE} = 1 \text{ V}$, $-I_C = 500 \text{ mA}$ $f_\beta = 11 \text{ kHz}$ bei $-U_{CE} = 2 \text{ V}$, $-I_C = 10 \text{ mA}$ $- I_{CBO} \leq 20 \mu\text{A}$ bei $-U_{CB} = 6 \text{ V}$ $- I_{CBO} \leq 200 \mu\text{A}$ bei $-U_{CB} = 25 \text{ V}$	$-U_{CBO} = 25 \text{ V}$ $-U_{CEO} = 20 \text{ V}$ $-U_{EBO} = 10 \text{ V}$ $- I_{CM} = 2 \text{ A}$ $P_{tot} = 6 \text{ W}$ bei $t_{case} = 45^\circ\text{C}$ $t_j = 90^\circ\text{C}$
		

Type	Kenndaten Typical characteristics	Grenzdaten Maximum ratings
AD 165 Germanium-npn-Leistungs-transistor (mit AD 164 als Komplementär-Pärchen lieferbar) Germanium npn power transistor (complementary pairs with AD 164 can be delivered) Größe • Outlines 4	B = 180 bei $U_{CE} = 6 \text{ V}$, $I_C = 50 \text{ mA}$ B = 185 bei $U_{CE} = 1 \text{ V}$, $I_C = 500 \text{ mA}$ $U_{BE} = 170 \text{ mV}$ bei $U_{CE} = 6 \text{ V}$, $I_C = 10 \text{ mA}$ $U_{BE} = 400 \text{ mV}$ bei $U_{CE} = 1 \text{ V}$, $I_C = 500 \text{ mA}$ $f_\beta = 20 \text{ kHz}$ bei $U_{CE} = 2 \text{ V}$, $I_C = 10 \text{ mA}$ $ I_{CBO} = 15 \mu\text{A}$ bei $U_{CB} = 6 \text{ V}$	$U_{CBO} = 25 \text{ V}$ $U_{CEO} = 20 \text{ V}$ $U_{EBO} = 10 \text{ V}$ $I_{CM} = 2 \text{ A}$ $P_{tot} = 5,3 \text{ W}$ bei $t_{case} = 45^\circ\text{C}$ $t_j = 90^\circ\text{C}$
AD 169 Germanium-pnp-Transistor für Endstufen mittlerer Leistung (als Pärchen lieferbar) Germanium pnp transistor for medium power stages (matched pairs can be delivered) Größe • Outlines 4	B = 83 bei $-U_{CE} = 6 \text{ V}$, $-I_C = 50 \text{ mA}$ B = 78 bei $-U_{CE} = 1 \text{ V}$, $-I_C = 500 \text{ mA}$ $-U_{BE} = 240 \text{ mV}$ bei $-U_{CE} = 6 \text{ V}$, $-I_C = 50 \text{ mA}$ $-U_{BE} = 410 \text{ mV}$ bei $-U_{CE} = 1 \text{ V}$, $-I_C = 500 \text{ mA}$ $f_\beta = 11 \text{ kHz}$ bei $-U_{CE} = 2 \text{ V}$, $-I_C = 10 \text{ mA}$ $ I_{CBO} \leq 30 \mu\text{A}$ bei $-U_{CB} = 45 \text{ V}$	$-U_{CBO} = 45 \text{ V}$ $-U_{CEO} = 26 \text{ V}$ $-U_{EBO} = 12 \text{ V}$ $-I_{CM} = 2 \text{ A}$ $P_{tot} = 6 \text{ W}$ bei $t_{case} = 45^\circ\text{C}$ $t_j = 90^\circ\text{C}$



HF-Transistoren • RF transistors

Type	Kenndaten Typical characteristics	Grenzdaten Maximum ratings
AF 106 Germanium-pnp-Mesa-Transistor für Vor-, Misch- und Oszillatorstufen bis zu 260 MHz Germanium pnp mesa transistor for pre-stages, mixer and oscillator up to 260 Mc/s Größe • Outlines 7	B = 50 bei $-U_{CE} = 12 \text{ V}$, $-I_C = 1 \text{ mA}$ $f_T = 220 \text{ MHz}$ bei $-U_{CE} = 12 \text{ V}$, $-I_C = 1 \text{ mA}$ $f_{max} = 1,2 \text{ GHz}$ bei $-U_{CE} = 12 \text{ V}$, $-I_C = 1 \text{ mA}$ $F = 5,5 \text{ dB}$ bei $-U_{CE} = 12 \text{ V}$, $-I_C = 1 \text{ mA}$, $f = 200 \text{ MHz}$ $r_{bb} \cdot C_{b'e} = 6 \text{ ps}$ bei $-U_{CE} = 12 \text{ V}$, $-I_C = 1 \text{ mA}$, $f = 100 \text{ MHz}$ $ I_{CBO} = 0,5 \mu\text{A}$ bei $-U_{CB} = 12 \text{ V}$ Y-Parameter Basissschaltung, $-U_{CB} = 12 \text{ V}$, $-I_C = 1 \text{ mA}$, $f = 200 \text{ MHz}$ $\text{Re } (y_{ib}) = 31 \text{ mS}$ $C_{rb} = -0,4 \text{ pF}$ $\text{Re } (y_{ob}) = 0,15 \text{ mS}$ $C_{ib} = -9,5 \text{ pF}$ $ y_{fb} = 27 \text{ mS}$ $C_{ob} = 1,5 \text{ pF}$ $\text{Re } (y_{rb}) \text{ ca. } 0 \text{ mS}$ $\varphi_{fb} = 115^\circ$	$-U_{CBO} = 25 \text{ V}$ $-U_{CEO} = 18 \text{ V}$ $-U_{EBO} = 0,3 \text{ V}$ $I_C = 10 \text{ mA}$ $P_{tot} = 60 \text{ mW}$ bei $t_{amb} = 45^\circ\text{C}$ $t_j = 90^\circ\text{C}$



Type

Kenndaten
Typical characteristicsGrenzdaten
Maximum ratings**AF 109 R**

Germanium-pnp-HF-Mesa-Transistor für regelbare Vorstufen bis 260 MHz

Germanium pnp RF mesa transistor for controlled input-stages up to 260 Mc/s

Größe • Outlines 7

B = 50	bei $-U_{CE} = 12 \text{ V}$, $-I_C = 1,5 \text{ mA}$	$-U_{CBO} = 20 \text{ V}$
B = 55	bei $-U_{CE} = 6 \text{ V}$, $-I_C = 2 \text{ mA}$	$-U_{CEO} = 15 \text{ V}$
$-C_{re} = 0,25 \text{ pF}$	bei $-U_{CE} = 12 \text{ V}$, $-I_C = 1 \text{ mA}$, $f = 450 \text{ kHz}$	$-U_{EBO} = 0,3 \text{ V}$
$V_{pb} = 16,5 \text{ dB}$	bei $-U_{CC} = 12 \text{ V}$, $-I_C = 2 \text{ mA}$, $f = 200 \text{ MHz}$, $R_{EE} = 1 \text{ k}\Omega$, $R_L = 920 \Omega$	$-I_C = 10 \text{ mA}$
$F \leq 4,8 \text{ dB}$	bei $-U_{CC} = 12 \text{ V}$, $-I_C = 2 \text{ mA}$, $f = 200 \text{ MHz}$, $R_{EE} = 1 \text{ k}\Omega$, $R_G = 60 \Omega$	$P_{tot} = 60 \text{ mW}$
$\Delta V_{pb} = 36 \text{ dB}$	bei $-U_{CC} = 12 \text{ V}$, $-I_C = 2 \text{ mA} \dots 9 \text{ mA}$, $f = 200 \text{ MHz}$, $R_{EE} = 1 \text{ k}\Omega$	$t_j = 90^\circ \text{ C}$

Y-Parameter

Basisschaltung, $f = 200 \text{ MHz}$, $-U_{CE} = 12 \text{ V}$, $-I_C = 1,5 \text{ mA}$

$$\begin{aligned} \operatorname{Re}(y_{ib}) &= 28 \text{ mS} & \operatorname{Re}(y_{rb}) &= -0,06 \text{ mS} & \operatorname{Re}(y_{fb}) &= -22 \text{ mS} \\ \operatorname{Im}(y_{ib}) &= -24 \text{ mS} & \operatorname{Im}(y_{rb}) &= -0,16 \text{ mS} & \operatorname{Im}(y_{fb}) &= 30 \text{ mS} \\ \operatorname{Re}(y_{ob}) &= 0,09 \text{ mS} & \operatorname{Im}(y_{ob}) &= 1,9 \text{ mS} \end{aligned}$$

**AF 121**

Germanium-pnp-Transistor für HF- und ZF-Verstärker

Germanium pnp transistor for RF and IF amplifier

Größe • Outlines 25

B = 80	bei $-U_{CE} = 5 \text{ V}$, $I_E = 2 \text{ mA}$	$-U_{CBO} = 25 \text{ V}$
$f_T = 270 \text{ MHz}$	bei $-U_{CE} = 10 \text{ V}$, $I_E = 3 \text{ mA}$	$-U_{CER} = 25 \text{ V}$
$-C_{re} = 0,45 \text{ pF}$	bei $-U_{CE} = 10 \text{ V}$, $I_E = 1 \text{ mA}$, $f = 450 \text{ kHz}$	$-I_{CM} = 15 \text{ mA}$
F = 4,5 dB		$P_{tot} = 70 \text{ mW}$
$V_{pb} = 19 \text{ dB}$		bei $t_{amb} = 45^\circ \text{ C}$
$-I_{CBO} = 1,2 \mu\text{A}$	bei $-U_{CB} = 10 \text{ V}$	$t_j = 75^\circ \text{ C}$

Y-Parameter

Emitterschaltung, $f = 10,7 \text{ MHz}$, $-U_{CE} = 5 \text{ V}$, $I_E = 2 \text{ mA}$

$$\begin{aligned} \operatorname{Re}(y_{ie}) &= 1,3 \text{ mS} & |y_{re}| &= 40 \mu\text{S} & |y_{fe}| &= 70 \text{ mS} \\ \operatorname{Im}(y_{ie}) &= 3,0 \text{ mS} & \varphi_{re} &= -90^\circ & \varphi_{fe} &= -13^\circ \\ \operatorname{Re}(y_{oe}) &= 13 \mu\text{S} & \operatorname{Im}(y_{oe}) &= 170 \mu\text{S} \end{aligned}$$

Basisschaltung, $f = 100 \text{ MHz}$, $-U_{CB} = 5 \text{ V}$, $I_E = 2 \text{ mA}$

$$\begin{aligned} \operatorname{Re}(y_{ib}) &= 32 \text{ mS} & |y_{rb}| &= 320 \mu\text{S} & |y_{fb}| &= 34 \text{ mS} \\ \operatorname{Im}(y_{ib}) &= 22 \text{ mS} & \varphi_{rb} &= -120^\circ & \varphi_{fb} &= 110^\circ \\ \operatorname{Re}(y_{ob}) &= 250 \mu\text{S} & \operatorname{Im}(y_{ob}) &= 1 \text{ mS} \end{aligned}$$



Type	Kenndaten Typical characteristics	Grenzdaten Maximum ratings
AF 181* Germanium-pnp-diffusions- legierter-HF-Transistor für regelbare ZF-Verstärker in Fernseh-Empfängern Germanium pnp alloy- diffused RF transistor for controlled IF-TV amplifier stages Größe • Outlines 26	B = 42 bei $-U_{CE} = 6$ V, $-I_C = 10$ mA B = 60 bei $-U_{CE} = 10$ V, $-I_C = 3$ mA $-C_{re} = 0,4$ pF bei $-U_{CB} = 10$ V, $I_E = 1$ mA, f = 450 kHz $-I_{CBO} \leq 7$ μ A bei $-U_{CB} = 10$ V Y-Parameter Emitterschaltung, f = 35 MHz, $-U_{CE} = 10$ V, $I_E = 3$ mA $Re(y_{ie}) = 10$ mS $ y_{re} = 75$ μ S $ y_{fe} = 85$ mS $Im(y_{ie}) = 10$ mS $\varphi_{re} = -90^\circ$ $\varphi_{fe} = -40^\circ$ $Re(y_{oe}) = 60$ μ S $Im(y_{oe}) = 660$ μ S * Nicht für Neuentwicklung	$U_{CBO} = 30$ V $I_C = 20$ mA $P_{tot} = 156$ mW bei $t_{amb} = 25^\circ\text{C}$ $t_j = 75^\circ\text{C}$
AF 239 Germanium-pnp-UHF- Mesa-Transistor für Vor-, Misch- und Oszillatorstufen bis 900 MHz Germanium pnp UHF mesa transistor for input-stages, mixers and oscillators up to 900 Mc/s Größe • Outlines 7	B = 33 bei $-U_{CE} = 10$ V, $-I_C = 2$ mA B = 30 bei $-U_{CE} = 5$ V, $-I_C = 5$ mA $f_T = 650$ MHz bei $-U_{CE} = 10$ V, $-I_C = 2$ mA, f = 100 MHz $V_{pb} = 14$ dB bei $-U_{CE} = 10$ V, $-I_C = 2$ mA, f = 800 MHz, $R_L = 2$ k Ω $V_{pb} = 12,5$ dB bei $-U_{CE} = 10$ V, $-I_C = 2$ mA, f = 900 MHz, $R_L = 2$ k Ω $-C_{re} = 0,23$ pF bei $-U_{CE} = 10$ V, $-I_C = 2$ mA $F = 5$ dB bei $-U_{CE} = 10$ V, $-I_C = 2$ mA, f = 800 MHz, $R_G = 60$ Ω $F = 6$ dB bei $-U_{CE} = 10$ V, $-I_C = 2$ mA, f = 900 MHz, $R_G = 60$ Ω $-I_{CES} = 0,5$ μ A bei $-U_{CES} = 20$ V	$-U_{CBO} = 20$ V $-U_{CEO} = 15$ V $-U_{EBO} = 0,3$ V $-I_C = 10$ mA $P_{tot} = 60$ mW bei $t_{amb} = 45^\circ\text{C}$ $t_j = 90^\circ\text{C}$
AF 251 Germanium-pnp-Planar UHF-Transistor im Kunst- stoffgehäuse für regel- bare Vorstufen bis 900 MHz Germanium pnp planar UHF transistor in epoxy case for AGC input-stages up to 900 Mc/s Größe • Outlines 27	B = 30 bei $-U_{CE} = 12$ V, $-I_C = 2$ mA $-I_{CBO} \leq 5$ μ A bei $-U_{CB} = 12$ V $-I_{CEO} \leq 400$ μ A bei $-U_{CE} = 15$ V $f_T = 750$ MHz bei $-U_{CE} = 12$ V, $-I_C = 2$ mA $-C_{re} = 0,38$ pF bei $-U_{CE} = 12$ V, $-I_C = 2$ mA $V_{pb} = 15$ dB bei $-U_{CE} = 12$ V, $-I_C = 2$ mA, f = 800 MHz, $R_G = 60$ Ω , $R_L = 1,4$ k Ω $F = 4,8$ dB bei $-U_{CE} = 12$ V, $-I_C = 2$ mA, f = 800 MHz, $R_G = 60$ Ω	$-U_{CBO} = 20$ V $-U_{CEO} = 15$ V $-U_{EBO} = 0,3$ V $-I_C = 10$ mA $P_{tot} = 90$ mW bei $t_{amb} = 45^\circ\text{C}$ $t_j = 90^\circ\text{C}$
AF 252 Germanium-pnp-Planar UHF-Transistor im Kunst- stoffgehäuse für selbst- schwingende Mischstufen bis 900 MHz Germanium pnp planar UHF transistor in epoxy case for oscillating mixer stages up to 900 Mc/s Größe • Outlines 27	$-I_{CBO} \leq 5$ μ A bei $-U_{CB} = 12$ V $B \geq 10$ bei $-U_{CE} = 12$ V, $-I_C = 2$ mA $f_T = 650$ MHz bei $-U_{CE} = 12$ V, $-I_C = 2$ mA, f = 100 MHz $-C_{re} = 0,38$ pF bei $-U_{CE} = 12$ V, $-I_C = 2$ mA $V_{pb} = 15$ dB bei $-U_{CE} = 12$ V, $-I_C = 2$ mA, f = 800 MHz, $R_G = 60$ Ω , $R_L = 1,4$ k Ω $F = 5,2$ dB bei $-U_{CE} = 12$ V, $-I_C = 2$ mA, f = 800 MHz, $R_G = 60$ Ω	$-U_{CBO} = 20$ V $-U_{CEO} = 15$ V $-U_{EBO} = 0,3$ V $-I_C = 10$ mA $P_{tot} = 90$ mW bei $t_{amb} = 45^\circ\text{C}$ $t_j = 90^\circ\text{C}$

Type	Kenndaten Typical characteristics	Grenzdaten Maximum ratings
AF 253 Germanium-pnp-Planar VHF-Transistor im Kunststoffgehäuse für regelbare Vorstufen Germanium pnp planar VHF transistor in epoxy case for AGC input-stages Größe • Outlines 27	$-I_{CBO} = 5 \mu A$ bei $-U_{CB} = 12 V$ $B = 10$ bei $-U_{CE} = 12 V$, $-I_C = 2 mA$ $f_T = 550 \text{ MHz}$ bei $-U_{CE} = 12 V$, $-I_C = 2 mA$, $f = 100 \text{ MHz}$ $C_{re} = 0,38 \text{ pF}$ bei $-U_{CE} = 12 V$, $-I_C = 2 mA$ $V_{pb} = 17 \text{ dB}$ bei $-U_{CE} = 12 V$, $-I_C = 2,5 mA$, $F = 4 \text{ dB}$ bei $-U_{CE} = 12 V$, $-I_C = 2,5 mA$, $r_{bb'} \cdot C_{b'e} \leq 12 \text{ ps}$ bei $f = 100 \text{ MHz}$ $V_{pb} = 17 \text{ dB}$ bei $-U_{CE} = 12 V$, $-I_C = 2,5 mA$, $f = 200 \text{ MHz}$, $R_L = 1 k\Omega$ $F = 4 \text{ dB}$ bei $-U_{CE} = 12 V$, $-I_C = 2,5 mA$, $f = 200 \text{ MHz}$	$-U_{CBO} = 20 V$ $-U_{CEO} = 15 V$ $-U_{EBO} = 0,3 V$ $-I_C = 10 mA$ $P_{tot} = 90 mW$ $\text{bei } t_{amb} = 45 ^\circ C$ $t_j = 90 ^\circ C$



AF 256 Germanium-pnp-Planar VHF-Transistor im Kunststoffgehäuse für Vor-, Misch- und Oszillatorstufen bis 260 MHz Germanium pnp planar VHF transistor in epoxy case for input-stages, mixer-and oscillator-stages up to 260 Mc/s Größe • Outlines 27	$-I_{CBO} = 0,5 \mu A$ bei $-U_{CB} = 12 V$ $B = 28$ bei $-U_{CE} = 12 V$, $-I_C = 1 mA$ $f_T = 170 \text{ MHz}$ bei $-U_{CE} = 12 V$, $-I_C = 1 mA$ $C_{re} = 0,58 \text{ pF}$ bei $-U_{CE} = 12 V$, $-I_C = 1 mA$, $f = 450 \text{ kHz}$ $r_{bb'} \cdot C_{b'e} \leq 12 \text{ ps}$ bei $f = 100 \text{ MHz}$ $F = 5,5 \text{ dB}$ bei $-U_{CE} = 12 V$, $-I_C = 1 mA$, $f = 200 \text{ MHz}$, $V_{pb} = 14 \text{ dB}$ bei $-U_{CE} = 12 V$, $-I_C = 3 mA$, $f = 200 \text{ MHz}$	$-U_{CEO} = 18 V$ $-U_{CBO} = 25 V$ $-U_{EBO} = 0,3 V$ $-I_C = 10 mA$ $P_{tot} = 90 mW$ $\text{bei } t_{amb} = 45 ^\circ C$ $t_j = 90 ^\circ C$
--	---	---



Type	Kenndaten Typical characteristics	Grenzdaten Maximum ratings
BF 198 Silizium-npn-Planar-HF-Transistor für geregelte FS-ZF-Stufen in Emitterschaltung Silicon npn high frequency planar transistor for emitter-grounded AGC TV-IF-stages Größe · Outlines 40	<p>$U_{BE} = 0,75 \text{ V}$ bei $U_{CE} = 10 \text{ V}$, $I_C = 4 \text{ mA}$ $B = 80$ bei $U_{CE} = 10 \text{ V}$, $I_C = 4 \text{ mA}$ $f_T = 400 \text{ MHz}$ bei $U_{CE} = 10 \text{ V}$, $I_C = 4 \text{ mA}$ $-C_{re} = 0,23 \text{ pF}$ bei $U_{CE} = 10 \text{ V}$, $I_C = 1 \text{ mA}$ $F = 3 \text{ dB}$ bei $U_{CE} = 10 \text{ V}$, $I_C = 4 \text{ mA}$, $f = 35 \text{ MHz}$, $R_G = 100 \Omega$</p> <p>Y-Parameter Emitterschaltung, $f = 35 \text{ MHz}$, $U_{CE} = 10 \text{ V}$, $I_C = 4 \text{ mA}$</p> <p>$Re(y_{ie}) = 4,5 \text{ mS}$ $y_{re} = 45 \mu\text{S}$ $y_{fe} = 105 \text{ mS}$ $C_{ie} = 40 \text{ pF}$ $\varphi_{re} = -95^\circ$ $\varphi_{fe} = -20^\circ$ $Re(y_{oe}) = 35 \mu\text{S}$ $C_{oe} = 1,3 \text{ pF}$</p>	<p>$U_{CBO} = 40 \text{ V}$ $U_{CEO} = 30 \text{ V}$ $U_{EBO} = 4 \text{ V}$ $I_C = 25 \text{ mA}$ $I_B = 3 \text{ mA}$ $P_{tot} = 200 \text{ mW}$ t_j bei $t_{amb} = 45^\circ\text{C}$ $t_j = 125^\circ\text{C}$</p> 

BF 199 Silizium-npn-Epitaxial-Planar-HF-Transistor mit kleiner Rückwirkungskapazität für FS-ZF-Stufen in Emitter-Schaltung Silicon npn high frequency epitaxial planar transistor with low short circuit reverse capacitance for emitter-grounded TV-IF-stages Größe · Outlines 40	<p>$U_{BE} = 750 \text{ mV}$ bei $U_{CB} = 10 \text{ V}$, $I_C = 7 \text{ mA}$ $B = 88$ bei $U_{CB} = 10 \text{ V}$, $I_C = 7 \text{ mA}$ $f_T = 550 \text{ MHz}$ bei $U_{CB} = 10 \text{ V}$, $I_C = 5 \text{ mA}$ $-C_{re} = 0,33 \text{ pF}$ bei $U_{CB} = 10 \text{ V}$, $I_C = 1 \text{ mA}$</p> <p>Y-Parameter Emitterschaltung, $f = 35 \text{ MHz}$, $U_{CE} = 10 \text{ V}$, $I_C = 7 \text{ mA}$</p> <p>$Re(y_{ie}) = 5 \text{ mS}$ $y_{re} = 65 \mu\text{S}$ $y_{fe} = 175 \text{ mS}$ $C_{ie} = 45 \text{ pF}$ $\varphi_{re} = -95^\circ$ $\varphi_{fe} = -25^\circ$ $Re(y_{oe}) = 75 \mu\text{S}$ $C_{oe} = 1,6 \text{ pF}$</p>	<p>$U_{CBO} = 40 \text{ V}$ $U_{CEO} = 25 \text{ V}$ $U_{EBO} = 4 \text{ V}$ $I_C = 25 \text{ mA}$ $I_B = 2 \text{ mA}$ $P_{tot} = 200 \text{ mW}$ t_j bei $t_{amb} = 45^\circ\text{C}$ $t_j = 125^\circ\text{C}$</p> 
--	--	---

BF 223 Silizium-npn-Epitaxial-Planar-HF-Transistor im Kunststoffgehäuse für FS-ZF-Stufen speziell in Farb-FS-Empfängern Silicon npn epitaxial planar RF transistor in epoxy case. Especially for TV-IF-stages for colour-TV-sets Größe · Outlines 36	<p>$I_{CBO} \leq 50 \text{ nA}$ bei $U_{CB} = 20 \text{ V}$ $B = 79$ bei $U_{CB} = 10 \text{ V}$, $I_C = 15 \text{ mA}$ $U_{BE} = 0,78 \text{ V}$ bei $U_{CB} = 10 \text{ V}$, $I_C = 15 \text{ mA}$ $f_T = 750 \text{ MHz}$ bei $U_{CB} = 10 \text{ V}$, $I_C = 5 \text{ mA}$, $f = 100 \text{ MHz}$ $y_{fe} = 200 \text{ mS}$ bei $U_{CB} = 10 \text{ V}$, $I_C = 7 \text{ mA}$, $f = 36 \text{ MHz}$ $Re(y_{oe}) = 33 \mu\text{S}$ bei $U_{CB} = 10 \text{ V}$, $I_C = 7 \text{ mA}$, $f = 36 \text{ MHz}$ $C_{oe} = 1,1 \text{ pF}$ bei $U_{CB} = 10 \text{ V}$, $I_C = 7 \text{ mA}$, $f = 36 \text{ MHz}$ $C_{re} = 0,3 \text{ pF}$ bei $U_{CB} = 10 \text{ V}$, $I_C = 1 \text{ mA}$, $f = 36 \text{ MHz}$</p>	<p>$U_{CBO} = 35 \text{ V}$ $U_{CEO} = 25 \text{ V}$ $U_{EBO} = 4 \text{ V}$ $I_C = 40 \text{ mA}$ $P_{tot} = 350 \text{ mW}$ t_j bei $t_{amb} = 25^\circ\text{C}$ $t_j = 140^\circ\text{C}$</p> 
---	--	--

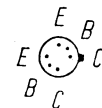
Type	Kenndaten Typical characteristics	Grenzdaten Maximum ratings
BFS 51 Silizium-npn-Epitaxial-Planar-HF-Transistor für VHF-Endstufen, Oszillatoren und Treiberstufen bei niedriger Betriebsspannung Collector mit Gehäuse verbunden Silicon npn epitaxial planar RF transistor for VHF power stages, oscillators and driver stages for low supply voltage Collector connected to case. Größe • Outlines 9	<p> $I_{CEO} \leq 100 \mu A$ bei $U_{CE} = 15 V$ $U_{CEsat} \leq 1 V$ bei $I_C = 250 mA$, $I_B = 50 mA$¹⁾ $U_{CEO} \leq 20 V$ bei $I_C = 0...100 mA$²⁾ $B \approx 15$ bei $U_{CB} = 15 V$, $I_C = 0,5 A$¹⁾ $f_{Tmax} \leq 450 MHz$ bei $U_{CB} = 5 V$, $f = 100 MHz$³⁾ $C_{ob} \leq 15 pF$ bei $U_{CB} = 12 V$, $I_E = 0 mA$, $f = 0,5 MHz$ $P_o \leq 0,9 W$ bei $U_{CE} = 12 V$, $P_i = 125 mW$, $f = 175 MHz$ $\eta \leq 60 \%$ bei $U_{CE} = 12 V$, $P_i = 125 mW$, $f = 175 MHz$ </p> <p> 1) $t_p = 0,5 ms$, $V_T = 0,01$ 2) gemessen bei dem Strom, bei dem die Durchbruchspannung ein Minimum ist measured at a current where the breakdown voltage is a minimum 3) Maximalwert der Funktion Maximum of the function $f_T = f(I_E)$ </p>	$U_{CBO} = 40 V$ $U_{CEO} = 20 V$ $U_{EBO} = 4 V$ $I_C = 0,75 A$ $P_{tot} = 5 W$ bei $t_{case} \leq 75 ^\circ C$ $t_j = 200 ^\circ C$



Type	Kenndaten Typical characteristics	Grenzdaten Maximum ratings
BFW 27 Silizium-MOS-Feldeffekt-Transistor, P-Kanal Anreicherungstyp, für Schaltungen mit großem Eingangswiderstand und für spezielle Schalt-anwendungen Silicon MOS field effect transistor p-enhancement, for circuits with high input resistance and for special switching applications Größe • Outlines 37	<p> $I_{DSS} = -0,5 nA$ bei $U_{DS} = -15 V$, $U_{GS} = 0 V$ $U_{GST} = -4,5 V$ bei $U_{DS} = -15 V$, $I_D = -10 \mu A$ $I_D = -6 mA$ bei $U_{GS} = U_{DS} = -15 V$ $Y_{fs} \geq 700 \mu S$ bei $U_{GS} = U_{DS} = -15 V$, $f = 1 kHz$ $Y_{os} \leq 30 \mu S$ bei $U_{GS} = U_{DS} = -15 V$, $f = 1 kHz$ $r_{don} = 500 \Omega$ bei $U_{GS} = -20 V$, $U_{DS} = -1 V$ $R_{GSS} = 10^1 ... 10^{13} \Omega$ bei $U_{GS} = -20 V$ $C_{iss} \leq 4 pF$ bei $U_{GS} = U_{DS} = -15 V$, $f = 1 MHz$ $C_{rss} = 0,6 pF$ bei $U_{GS} = U_{DS} = -15 V$, $f = 1 MHz$ $C_{oss} \leq 3,5 pF$ bei $U_{GS} = U_{DS} = -15 V$, $f = 1 MHz$ </p>	$U_{GSS} = \pm 40 V$ $U_{DSS} = -30 V$ $I_D = -25 mA$ $P_{tot} = 200 mW$ bei $t_{amb} = 45 ^\circ C$ $t_j = 150 ^\circ C$



Type	Kenndaten Typical characteristics	Grenzdaten Maximum ratings
BFY 69 BFY 69 A Silizium-Epitaxial-npn- Planar-Subminiatu- Transistor für Kleinstgeräte Silicon npn planar transistor in miniature cases for very small sets Größe · Outlines 14	$\beta \approx 40$ bei $U_{CE} = 1 \text{ V}$, $I_C = 0,5 \text{ mA}$ $\beta \approx 50$ bei $U_{CE} = 5 \text{ V}$, $I_C = 2 \text{ mA}$ $U_{CEsat} \leq 250 \text{ mV}$ bei $I_C = 10 \text{ mA}$, $I_B = 0,3 \text{ mA}$ $f_T \approx 50 \text{ MHz}$ bei $U_{CE} = 5 \text{ V}$, $I_C = 2 \text{ mA}$ $I_{CBO} \leq 100 \text{ nA}$ bei $U_{CB} = 25 \text{ V}$	$U_{CBO} = 25 \text{ V}$ $U_{CEO} = 15 \text{ V}$ $U_{EBO} = 5 \text{ V}$ $P_{tot} = 105 \text{ mW}$ bei $t_{amb} = 45^\circ\text{C}$ $t_j = 125^\circ\text{C}$
BFY 85 BFY 86 Silizium-npn-Epitaxial- Planar-Doppeltransistor für Differenzverstärker Silicon npn epitaxial planar double transistor for differential amplifier Größe · Outlines 30	BFY 85 BFY 86 $B \approx 100..360$ bei $U_{CE} = 5 \text{ V}$, $I_C = 0,1 \text{ mA}$ $\Delta B \approx 20$ 10 % bei $U_{CE} = 5 \text{ V}$, $I_C = 0,1 \text{ mA}$ $f_T \approx 50 \text{ MHz}$ bei $U_{CE} = 5 \text{ V}$, $I_C = 0,5 \text{ mA}$ $C_{ob} \approx 8 \text{ pF}$ bei $U_{CB} = 5 \text{ V}$, $I_E = 0$, $f = 100 \text{ MHz}$ $F \approx 6 \text{ dB}$ bei $U_{CE} = 5 \text{ V}$, $I_C = 0,2 \text{ mA}$, $f = 1 \text{ kHz} \pm 100 \text{ Hz}$, $R_Q = 2 \text{ k}\Omega$ $\Delta U_{BE} \leq 10$ 5 mV bei $U_{CE} = 5 \text{ V}$, $I_C = 0,1 \text{ mA}$	$U_{CBO} = 45 \text{ V}$ $U_{CEO} = 45 \text{ V}$ $U_{EBO} = 5 \text{ V}$ $I_C = 100 \text{ mA}$ $P_{tot I} = 160 \text{ mW}$ bei $t_{amb} = 45^\circ\text{C}$ $P_{tot I+II} = 210 \text{ mW}$ bei $t_{amb} = 45^\circ\text{C}$ $t_j = 125^\circ\text{C}$
BFY 87 BFY 87 A Silizium-Epitaxial-npn- Planar-Subminiatu- Transistor für Kleinstgeräte Silicon npn planar transistor in miniature cases for very small sets Größe · Outlines 15	$\beta \approx 40$ bei $U_{CE} = 1 \text{ V}$, $I_C = 0,5 \text{ mA}$ $\beta \approx 50$ bei $U_{CE} = 5 \text{ V}$, $I_C = 2 \text{ mA}$ $U_{CEsat} \leq 250 \text{ mV}$ bei $I_C = 10 \text{ mA}$, $I_B = 0,3 \text{ mA}$ $f_T \approx 50 \text{ MHz}$ bei $U_{CE} = 5 \text{ V}$, $I_C = 2 \text{ mA}$ $I_{CBO} \leq 100 \text{ nA}$ bei $U_{CB} = 25 \text{ V}$	$U_{CBO} = 25 \text{ V}$ $U_{CEO} = 15 \text{ V}$ $U_{EBO} = 5 \text{ V}$ $P_{tot} = 50 \text{ mW}$ bei $t_{amb} = 45^\circ\text{C}$ $t_j = 125^\circ\text{C}$
BFY 88 Silizium-npn-Epitaxial- Planar-HF-Transistor für UHF-Verstärker und Breit- bandverstärker bis 1 GHz Silicon npn epitaxial planar RF transistors for UHF amplifier and wide- band amplifiers up to 1 Gc/s Größe · Outlines 11	$B \approx 40$ bei $U_{CE} = 1 \text{ V}$, $I_C = 5 \text{ mA}$ $U_{BE} = 720 \text{ mV}$ bei $U_{CE} = 10 \text{ V}$, $I_C = 5 \text{ mA}$ $f_T = 850 \text{ MHz}$ bei $U_{CE} = 10 \text{ V}$, $I_C = 5 \text{ mA}$ $C_{re} = 0,2 \text{ pF}$ bei $U_{CB} = 10 \text{ V}$, $I_C = 1 \text{ mA}$, $f = 100 \text{ MHz}$ $V_{pe} = 15 \text{ dB}$ bei $U_{CE} = 18 \text{ V}$, $I_C = 2 \text{ mA}$, $f = 500 \text{ MHz}$ $F = 3,5 \text{ dB}$ bei $U_{CE} = 18 \text{ V}$, $I_C = 2 \text{ mA}$, $f = 200 \text{ MHz}$ $F < 6,5 \text{ dB}$ bei $U_{CE} = 20 \text{ V}$, $I_C = 1,5 \text{ mA}$, $f = 500 \text{ MHz}$	$U_{CBO} = 40 \text{ V}$ $U_{CEO} = 25 \text{ V}$ $U_{EBO} = 3,5 \text{ V}$ $I_C = 25 \text{ mA}$ $P_{tot} = 175 \text{ mW}$ bei $t_{amb} = 45^\circ\text{C}$ $t_j = 175^\circ\text{C}$



Type	Kenndaten Typical characteristics	Grenzdaten Maximum ratings
BLY 79 Silizium-npn-Epitaxial-Planar-HF-Transistor für VHF-Endstufen, Oszillatoren und Treiberstufen bei niedriger Betriebsspannung Emitter mit Gehäuse verbunden Silicon npn epitaxial planar RF transistor for VHF power stages, oscillators and driver stages for low supply voltage Emitter connected to case Größe • Outlines 43	$I_{CEO} \leq 250 \mu A$ bei $U_{CE} = 15 V$ $U_{CESat} \leq 1 V$ bei $I_C = 0,5 A$, $I_B = 100 mA$ ¹⁾ $U_{CEO} \leq 20 V$ bei $I_C = 0...200 mA$ ^{1,2)} $B \leq 15$ bei $U_{CB} = 15 V$, $I_C = 1 A$ ¹⁾ $f_{Tmax} = 400 MHz$ bei $U_{CB} = 5 V$, $f = 100 MHz$ ³⁾ $C_{ob} \leq 40 pF$ bei $U_{CB} = 12 V$, $I_E = 0 mA$, $f = 10,7 MHz$ $P_o \leq 11 W$ bei $U_{CE} = 12 V$, $P_i = 4 W$, $f = 175 MHz$ ⁴⁾ $\eta \geq 80 \%$ bei $U_{CE} = 12 V$, $P_i = 4 W$, $f = 175 MHz$ <p>1) impulsmäßig gemessen • pulse measurement 2) gemessen bei dem Strom, bei dem die Durchbruchsspannung ein Minimum ist measured at a current where the breakdown voltage is a minimum 3) Maximalwert der Funktion Maximum of the function $f_T = f(I_E)$ 4) in nicht neutralisiertem Verstärker non-neutralized amplifier</p>	$U_{CBO} = 40 V$ $U_{CEO} = 20 V$ $U_{EBO} = 4 V$ $I_C = 2 A$ $P_{tot} = 16,5 W$ bei $t_{case} \leq 75 ^\circ C$ $t_j = 200 ^\circ C$



BLY 80 Silizium-npn-Epitaxial-Planar-HF-Transistor für VHF-Endstufen, Oszillatoren und Treiberstufen bei niedriger Betriebsspannung Emitter mit Gehäuse verbunden Silicon npn epitaxial planar RF transistor for VHF power stages, oscillators and driver stages for low supply voltage Emitter connected to case Größe • Outlines 35	$I_{CEO} \leq 100 \mu A$ bei $U_{CE} = 15 V$ $U_{CESat} \leq 1 V$ bei $I_C = 0,5 A$, $I_B = 100 mA$ ¹⁾ $U_{CEO} \leq 20 V$ bei $I_C = 0...200 mA$ ^{1,2)} $B \leq 15$ bei $U_{CB} = 15 V$, $I_C = 750 mA$ ¹⁾ $f_{Tmax} = 450 MHz$ bei $U_{CB} = 5 V$, $f = 100 MHz$ ³⁾ $C_{ob} \leq 22 pF$ bei $U_{CB} = 12 V$, $I_E = 0 mA$, $f = 0,5 MHz$ $P_o = 5,2 W$ bei $U_{CE} = 12 V$, $P_i = 1 W$, $f = 175 MHz$ ⁴⁾ $\eta \geq 70 \%$ bei $U_{CE} = 12 V$, $P_i = 1 W$, $f = 175 MHz$ <p>1) impulsmäßig gemessen • pulse measurement 2) gemessen bei dem Strom, bei dem die Durchbruchsspannung ein Minimum ist measured at a current where the breakdown voltage is a minimum 3) Maximalwert der Funktion Maximum of the function $f_T = f(I_E)$ 4) in nicht neutralisiertem Verstärker non-neutralized amplifier</p>	$U_{CBO} = 40 V$ $U_{CEO} = 20 V$ $U_{EBO} = 4 V$ $I_C = 1 A$ $R_{thG} = 17 ^\circ C/W$
---	--	---



Type	Kenndaten Typical characteristics	Grenzdaten Maximum ratings
BLY 81 Silizium-npn-Epitaxial-Planar-HF-Transistor für VHF-Endstufen, Oszillatoren und Treiberstufen bei niedriger Betriebsspannung Emitter mit Gehäuse verbunden Silicon npn epitaxial planar RF transistor for VHF power stages, oscillators and driver stages for low supply voltage Emitter connected to case Größe • Outlines 35	<p>$I_{CEO} \leq 250 \mu A$ bei $U_{CE} = 15 V$ $U_{CEsat} \leq 1 V$ bei $I_C = 500 mA, I_B = 100 mA$¹⁾ $U_{CEO} \geq 20 V$ bei $I_C = 0...200 mA$^{1) 2)} $B \geq 15$ bei $U_{CB} = 15 V, I_C = 1 A$¹⁾ $f_{Tmax} = 400 MHz$ bei $U_{CB} = 5 V, f = 100 MHz$³⁾ $C_{ob} \leq 45 pF$ bei $U_{CB} = 12 V, I_E = 0 mA, f = 0,5 MHz$ $P_o = 12 W$ bei $U_{CE} = 12 V, P_i = 4 W, f = 175 MHz$⁴⁾ $\eta \geq 80 \%$ bei $U_{CE} = 12 V, P_i = 4 W, f = 175 MHz$</p> <p>1) impulsmäßig gemessen • pulse measurement 2) gemessen bei dem Strom, bei dem die Durchbruchsspannung ein Minimum ist measured at a current where the breakdown voltage is a minimum 3) Maximalwert der Funktion Maximum of the function $f_T = f(I_B)$ 4) in nicht neutralisiertem Verstärker non-neutralized amplifier</p>	$U_{CBO} = 40 V$ $U_{CEO} = 20 V$ $U_{EBO} = 4 V$ $I_C = 2 A$ $R_{thG} = 8 ^\circ C/W$



BSW 10 Silizium-npn-Epitaxial-Planar-Transistor für sehr schnelle Schalter und HF-Verstärker Silicon npn epitaxial planar transistor for very high speed switching and RF amplifiers Größe • Outlines 9	<p>$I_{CBO} \leq 100 nA$ bei $U_{CB} = 40 V$ $U_{CEsat} \leq 0,4 V$ bei $I_C = 150 mA, I_B = 15 mA$ $U_{BESat} \leq 1,3 V$ bei $I_C = 150 mA, I_B = 15 mA$ $B \geq 25$ bei $U_{CE} = 10 V, I_C = 1 mA$ $B \geq 40$ bei $U_{CE} = 10 V, I_C = 150 mA$ $B \geq 30$ bei $U_{CE} = 10 V, I_C = 500 mA$ $f_T \geq 200 MHz$ bei $U_{CE} = 10 V, I_C = 50 mA$, $f = 1 MHz$ $C_{ob} \leq 10 pF$ bei $U_{CB} = 10 V, f = 1 MHz$ $t_{on} = 100 ns$ bei $I_C = 150 mA, I_{B1} = 15 mA$, $I_{B2} = 15 mA, R_L = 40 \Omega$ $t_{off} = 350 ns$ bei $I_C = 150 mA, I_{B1} = 15 mA$, $I_{B2} = 15 mA, R_L = 40 \Omega$</p>	$U_{CBO} = 90 V$ $U_{CEO} = 65 V$ $U_{EBO} = 7 V$ $I_C = 0,8 A$ $P_{tot} = 0,6 W$ $bei t_{amb} = 45 ^\circ C$ $P_{tot} = 2,2 W$ $bei t_{case} = 45 ^\circ C$ $t_j = 175 ^\circ C$
BSW 11 Silizium-npn-Epitaxial-Planar-Transistor im Kunststoffgehäuse für sehr schnelle Schalter, geeignet für Module Silicon npn epitaxial planar transistor with epoxy case for very high speed switching, suitable for modules Größe • Outlines 33	<p>$I_{CBO} = 2 nA$ bei $U_{CB} = 20 V$ $I_{EBO} = 1 nA$ bei $U_{EB} = 4 V$ $U_{CEsat} = 0,2 V$ bei $I_C = 10 mA, I_B = 1 mA$ $B > 50$ bei $U_{CE} = 1 V, I_C = 10 mA$ $f_T > 400 MHz$ bei $U_{CE} = 10 V, I_C = 10 mA$ $C_{CB} < 3 pF$ bei $U_{CB} = 10 V, I_C = 0$</p> <p>Schaltzeiten • Switching times $I_c = 10 mA, I_{B1} = -I_{B2} = 1 mA$ $t_{on} < 25 ns, t_{off} < 50 ns$</p>	$U_{CBO} = 25 V$ $U_{CEO} = 15 V$ $U_{EBO} = 5 V$ $I_C = 200 mA$ $P_{tot} = 50 mW$ $bei t_{amb} = 45 ^\circ C$ $t_j = 125 ^\circ C$



Type	Kenndaten Typical characteristics	Grenzdaten Maximum ratings
BSW 12 Silizium-npn-Epitaxial-Planar-Transistor im Kunststoffgehäuse für sehr schnelle Schalter, für Module geeignet Silicon npn epitaxial planar transistor with epoxy case for very high speed switching, suitable for moduls Größe • Outlines 33	<p>$I_{CBO} \leq 50 \text{ nA}$ bei $U_{CB} = 20 \text{ V}$ $U_{CEsat} \leq 0,4 \text{ V}$ bei $I_C = 10 \text{ mA}$, $I_B = 1 \text{ mA}$ $U_{BEsat} \leq 0,8 \text{ V}$ bei $I_C = 10 \text{ mA}$, $I_B = 1 \text{ mA}$ B ≤ 15 bei $U_{CE} = 1 \text{ V}$, $I_C = 0,5 \text{ mA}$ B ≤ 40 bei $U_{CE} = 1 \text{ V}$, $I_C = 10 \text{ mA}$ $f_T \geq 200 \text{ MHz}$ bei $U_{CE} = 10 \text{ V}$, $I_C = 10 \text{ mA}$, $f = 100 \text{ MHz}$</p> <p>$C_{ob} \leq 6 \text{ pF}$ bei $U_{CB} = 10 \text{ V}$, $f = 1 \text{ MHz}$ $t_{on} \leq 40 \text{ ns}$ bei $I_C = 10 \text{ mA}$, $I_{B1} = 3 \text{ mA}$, $I_{B2} = 1 \text{ mA}$ $t_{off} \leq 80 \text{ ns}$ bei $I_C = 10 \text{ mA}$, $I_{B1} = 3 \text{ mA}$, $I_{B2} = 1 \text{ mA}$</p>	$U_{CBO} = 40 \text{ V}$ $U_{CEO} = 20 \text{ V}$ $U_{EBO} = 5 \text{ V}$ $I_C = 200 \text{ mA}$ $P_{tot} = 50 \text{ mW}$ bei $t_{amb} = 45^\circ\text{C}$ $t_j = 125^\circ\text{C}$



B C E

BSW 19 Silizium-pnp-Epitaxial-Planar-Transistor für sehr schnelle Schalter Silicon pnp epitaxial planar transistor for very high speed switching applications Größe • Outlines 6	<p>$I_{CBO} \leq 50 \text{ nA}$ bei $U_{CB} = 25 \text{ V}$ $U_{CEsat} \leq 0,18 \text{ V}$ bei $I_C = 10 \text{ mA}$, $I_B = 0,3 \text{ mA}$ $U_{BEsat} \leq 0,78 \text{ V}$ bei $I_C = 10 \text{ mA}$, $I_B = 0,3 \text{ mA}$ B Gruppe VI 40...120 bei $U_{CE} = 1 \text{ V}$, $I_C = 10 \text{ mA}$ B Gruppe A 100...300 bei $U_{CE} = 1 \text{ V}$, $I_C = 10 \text{ mA}$ B ≥ 50 bei $U_{CE} = 1 \text{ V}$, $I_C = 50 \text{ mA}$ $f_T \geq 150 \text{ MHz}$ bei $U_{CE} = 5 \text{ V}$, $I_C = 10 \text{ mA}$ $C_{ob} \leq 5 \text{ pF}$ bei $U_{CB} = 10 \text{ V}$, $I_C = 0$ $t_{on} \leq 150 \text{ ns}$ bei $I_C = 10 \text{ mA}$, $I_{B1} = I_{B2} = 1 \text{ mA}$ $t_{off} \leq 800 \text{ ns}$ bei $I_C = 10 \text{ mA}$, $I_{B1} = I_{B2} = 1 \text{ mA}$</p>	$U_{CBO} = 35 \text{ V}$ $U_{CEO} = 30 \text{ V}$ $U_{EBO} = 5 \text{ V}$ $I_C = 100 \text{ mA}$ $P_{tot} = 215 \text{ mW}$ bei $t_{amb} = 45^\circ\text{C}$ $t_j = 175^\circ\text{C}$
BSX 38 Silizium-npn-Epitaxial-Planar-Schalttransistor mit hoher Stromverstärkung Silicon npn epitaxial planar switching transistor with high gain Größe • Outlines 6	<p>B Gruppe A 100...300 bei $U_{CE} = 1 \text{ V}$, $I_C = 10 \text{ mA}$ B Gruppe B 250...750 bei $U_{CE} = 1 \text{ V}$, $I_C = 10 \text{ mA}$ $U_{CEsat} \leq 0,2 \text{ V}$ bei $I_C = 10 \text{ mA}$, $I_B = 0,3 \text{ mA}$ $U_{BEsat} \leq 0,75 \text{ V}$ bei $I_C = 10 \text{ mA}$, $I_B = 0,3 \text{ mA}$ $f_T \geq 200 \text{ MHz}$ bei $U_{CE} = 10 \text{ V}$, $I_C = 10 \text{ mA}$ $I_{CBO} = 1 \text{ nA}$ bei $U_{CB} = 25 \text{ V}$ $t_{on} \leq 150 \text{ ns}$ bei $I_C = 10 \text{ mA}$, $I_{B1} = I_{B2} = 1 \text{ mA}$ $t_{off} \leq 800 \text{ ns}$ bei $I_C = 10 \text{ mA}$, $I_{B1} = I_{B2} = 1 \text{ mA}$</p>	$U_{CBO} = 35 \text{ V}$ $U_{CEO} = 30 \text{ V}$ $U_{EBO} = 5 \text{ V}$ $I_{CM} = 200 \text{ mA}$ $P_{tot} = 345 \text{ mW}$ bei $t_{amb} = 45^\circ\text{C}$ $t_j = 200^\circ\text{C}$



Type	Kenndaten Typical characteristics	Grenzdaten Maximum ratings
BSX 53 BSX 54 Silizium-npn-Epitaxial-Planar-Transistor. Schalttransistor mit hoher Stromverstärkung und isoliertem Aufbau Silicon npn epitaxial planar switching transistor with high current gain and insulated construction Größe • Outlines 6	B Gruppe A 100...300 bei $U_{CE} = 1\text{ V}$, $I_C = 10\text{ mA}$ B Gruppe B 250...750 bei $U_{CE} = 1\text{ V}$, $I_C = 10\text{ mA}$ B ≥ 50 bei $U_{CE} = 1\text{ V}$, $I_C = 50\text{ mA}$ $f_T \geq 200\text{ MHz}$ bei $U_{CE} = 10\text{ V}$, $I_C = 10\text{ mA}$ $U_{CEsat} \leq 0,2\text{ V}$ bei $I_C = 10\text{ mA}$, $I_B = 0,3\text{ mA}$ $U_{BEsat} \leq 0,75\text{ V}$ bei $I_C = 10\text{ mA}$, $I_B = 0,3\text{ mA}$ $I_{CBO} = 1\text{ nA}$ bei $U_{CB} = 25\text{ V}$ $t_{on} \leq 150\text{ ns}$ bei $I_C = 10\text{ mA}$, $I_{B1} = I_{B2} = 1\text{ mA}$ $t_{off} \leq 800\text{ ns}$ bei $I_C = 10\text{ mA}$, $I_{B1} = I_{B2} = 1\text{ mA}$	BSX 53 BSX 54 $U_{CBO} = 35\text{ }50\text{ V}$ $U_{CEO} = 30\text{ }45\text{ V}$ $U_{EBO} = 5\text{ V}$ $I_C = 100\text{ mA}$ $I_{CM} = 200\text{ mA}$ $P_{tot} = 130\text{ mW}$ bei $t_{amb} = 45^\circ\text{C}$ $t_j = 175^\circ\text{C}$



Type	Kenndaten Typical characteristics	Grenzdaten Maximum ratings
BSX 68 BSX 69 Silizium-npn-Epitaxial-Planar-Transistoren für Schaltanwendungen Silicon npn epitaxial planar transistors for switching applications Größe • Outlines 29	BSX 68 BSX 69 $I_{CBO} = 50 \leq 500\text{ nA}$ bei $U_{CB} = 20\text{ V}$ $ I_{CEV} \leq 10 \leq 10\text{ }\mu\text{A}$ bei $U_{CE} = 20\text{ V}$, $U_{EB} = 250\text{ mV}$ $ I_{EBO} = 10 \leq 10\text{ nA}$ bei $U_{EB} = 2\text{ V}$ $U_{CEsat} = 100...250\text{ }80...200\text{ mV}$ bei $I_C = 10\text{ mA}$, $I_B = 330\text{ }\mu\text{A}$ B $= 30...300\text{ }60...180$ bei $U_{CB} = 0\text{ V}$, $I_E = 10\text{ mA}$ $f_T \leq 175 \geq 175\text{ MHz}$ bei $U_{CB} = 5\text{ V}$, $I_C = 10\text{ mA}$, $f = 100\text{ MHz}$ $C_{ob} = 3 \leq 8\text{ pF}$ bei $U_{CB} = 10\text{ V}$, $I_E = 0\text{ mA}$, $f = 1\text{ MHz}$ $C_{EB} = 5 \leq 8\text{ pF}$ bei $U_{CB} = 10\text{ V}$, $I_E = 0\text{ mA}$, $f = 1\text{ MHz}$ Schaltzeiten • Switching times bei $I_C = 10\text{ mA}$, $I_{B1} = I_{B2} = 1\text{ mA}$, $t_{amb} = 5...60^\circ\text{C}$ $t_d = 30\text{ ns}$ $t_{off} \leq 400\text{ ns}$ $t_{on} \leq 200\text{ ns}$ $t_s = 150\text{ ns}$ $t_f = 40\text{ ns}$	BSX 68 BSX 69 $U_{CBO} = 30\text{ }30\text{ V}$ $U_{CEO} = 15\text{ }20\text{ V}$ $U_{EBO} = 5\text{ }5\text{ V}$ $I_{CM} = 200\text{ }200\text{ mA}$ $P_{tot} = 125\text{ }125\text{ mW}$ bei $t_{amb} \leq 45^\circ\text{C}$ $t_j = 125\text{ }125^\circ\text{C}$



Type	Kenndaten Typical characteristics			Grenzdaten Maximum ratings
BSX 72 Silizium-npn-Epitaxial-Planar-Transistor für sehr schnelle Schalter und HF-Verstärker Silicon npn epitaxial planar transistor for high speed switching and RF amplifiers Größe • Outlines 10	B ≥ 25 bei $U_{CE} = 10 \text{ V}$, $I_C = 1 \text{ mA}$ B ≥ 40 bei $U_{CE} = 10 \text{ V}$, $I_C = 150 \text{ mA}$ B ≥ 20 bei $U_{CE} = 10 \text{ V}$, $I_C = 500 \text{ mA}$ $f_T \geq 200 \text{ MHz}$ bei $U_{CE} = 10 \text{ V}$, $I_C = 20 \text{ mA}$, $f = 100 \text{ MHz}$ $U_{CEsat} \leq 2 \text{ V}$ bei $I_C = 500 \text{ mA}$, $I_B = 50 \text{ mA}$ $U_{BEsat} \leq 1,3 \text{ V}$ bei $I_C = 150 \text{ mA}$, $I_B = 15 \text{ mA}$ $t_{on} = 25 \text{ ns}$ bei $I_C = 150 \text{ mA}$, $I_{B1} = I_{B2} = 15 \text{ mA}$, $R_L = 40 \Omega$ $t_{off} = 150 \text{ ns}$ bei $I_C = 150 \text{ mA}$, $I_{B1} = I_{B2} = 15 \text{ mA}$, $R_L = 40 \Omega$			$U_{CBO} = 40 \text{ V}$ $U_{CEO} = 25 \text{ V}$ $U_{EBO} = 5 \text{ V}$ $I_{CM} = 1,5 \text{ A}$ $P_{tot} = 0,7 \text{ W}$ bei $t_{amb} = 45^\circ\text{C}$ $P_{tot} = 4,3 \text{ W}$ bei $t_{case} = 45^\circ\text{C}$ $= 175^\circ\text{C}$



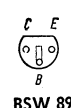
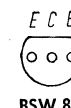
BSX 75 Silizium-npn-Epitaxial-Planar-Transistor für sehr schnelle Schalter und HF-Verstärker Silicon npn epitaxial planar transistor for high speed switching applications and RF amplifiers Größe • Outlines 6	B ≥ 25 bei $U_{CE} = 10 \text{ V}$, $I_C = 1 \text{ mA}$ B ≥ 40 bei $U_{CE} = 10 \text{ V}$, $I_C = 150 \text{ mA}$ B ≥ 20 bei $U_{CE} = 10 \text{ V}$, $I_C = 500 \text{ mA}$ $f_T \geq 200 \text{ MHz}$ bei $U_{CE} = 10 \text{ V}$, $I_C = 20 \text{ mA}$, $f = 100 \text{ MHz}$ $U_{CEsat} \leq 2 \text{ V}$ bei $I_C = 500 \text{ mA}$, $I_B = 50 \text{ mA}$ $U_{BEsat} \leq 1,3 \text{ V}$ bei $I_C = 150 \text{ mA}$, $I_B = 15 \text{ mA}$ $t_{on} = 25 \text{ ns}$ bei $I_C = 150 \text{ mA}$, $I_{B1} = I_{B2} = 15 \text{ mA}$, $R_L = 40 \Omega$ $t_{off} = 150 \text{ ns}$ bei $I_C = 150 \text{ mA}$, $I_{B1} = I_{B2} = 15 \text{ mA}$, $R_L = 40 \Omega$			$U_{CBO} = 40 \text{ V}$ $U_{CEO} = 25 \text{ V}$ $U_{EBO} = 5 \text{ V}$ $I_{CM} = 1 \text{ A}$ $P_{tot} = 430 \text{ mW}$ bei $t_{amb} = 45^\circ\text{C}$ $P_{tot} = 1,5 \text{ W}$ bei $t_{case} = 45^\circ\text{C}$ $t_j = 175^\circ\text{C}$
---	---	--	--	--



BSX 80 Silizium-npn-Epitaxial-Planar-Transistor in Kunststoffgehäuse für sehr schnelle Schalter Silicon npn epitaxial planar plastic transistor for high speed switching applications Größe • Outlines 27	B ≥ 15 bei $U_{CE} = 1 \text{ V}$, $I_C = 0,5 \text{ mA}$ B ≥ 80 bei $U_{CE} = 1 \text{ V}$, $I_C = 10 \text{ mA}$ $f_T \geq 200 \text{ MHz}$ bei $U_{CE} = 10 \text{ V}$, $I_C = 10 \text{ mA}$ $U_{CEsat} \leq 0,4 \text{ V}$ bei $I_C = 10 \text{ mA}$, $I_B = 1 \text{ mA}$ $U_{BEsat} \leq 0,8 \text{ V}$ bei $I_C = 10 \text{ mA}$, $I_B = 1 \text{ mA}$ $I_{CBO} \leq 50 \text{ nA}$ bei $U_{CB} = 20 \text{ V}$ $t_{on} \leq 40 \text{ ns}$ bei $I_C = 10 \text{ mA}$, $I_{B1} = 3 \text{ mA}$, $I_{B2} = 1 \text{ mA}$ $t_{off} \leq 80 \text{ ns}$ bei $I_C = 10 \text{ mA}$, $I_{B1} = 3 \text{ mA}$, $I_{B2} = 1 \text{ mA}$ $\tau_s \leq 25 \text{ ns}$ bei $I_C = I_{B1} = I_{B2} = 10 \text{ mA}$			$U_{CBO} = 35 \text{ V}$ $U_{CEO} = 15 \text{ V}$ $U_{EBO} = 5 \text{ V}$ $I_{CM} = 200 \text{ mA}$ $P_{tot} = 180 \text{ mW}$ bei $t_{amb} = 45^\circ\text{C}$ $t_j = 125^\circ\text{C}$
---	---	--	--	---



BSX 81 BSW 88 BSW 89 Silizium-npn-Epitaxial-Planar-Schalttransistor in Kunststoffgehäuse Silicon npn epitaxial planar switching transistor encapsulated in plastic Größe • Outlines 27	B *) $= 100 \dots 750$ bei $U_{CE} = 1 \text{ V}$, $I_C = 10 \text{ mA}$ B ≥ 75 bei $U_{CE} = 1 \text{ V}$, $I_C = 50 \text{ mA}$ $f_T \geq 200 \text{ MHz}$ bei $U_{CE} = 5 \text{ V}$, $I_C = 10 \text{ mA}$ $U_{CEsat} \leq 0,2 \text{ V}$ bei $I_C = 10 \text{ mA}$, $I_B = 0,3 \text{ mA}$ $U_{BEsat} \leq 0,75 \text{ V}$ bei $I_C = 10 \text{ mA}$, $I_B = 0,3 \text{ mA}$ $t_{on} \leq 150 \text{ ns}$ bei $I_C = 10 \text{ mA}$, $I_{B1} = I_{B2} = 1 \text{ mA}$ $t_{off} \leq 0,8 \mu\text{s}$ bei $I_C = 10 \text{ mA}$, $I_{B1} = I_{B2} = 1 \text{ mA}$			$U_{CBO} = 35 \text{ V}$ $U_{CEO} = 30 \text{ V}$ $U_{EBO} = 5 \text{ V}$ $I_{CM} = 200 \text{ mA}$ $P_{tot} = 230 \text{ mW}$ bei $t_{amb} = 45^\circ\text{C}$ $t_j = 150^\circ\text{C}$
*) Gruppe A 100...300 Gruppe B 250...750				



Type	Kenndaten Typical characteristics	Grenzdaten Maximum ratings
AA 134 Germanium-Universaldiode Germanium general-purpose diode Größe • Outlines 17	$U_F = 1,35 \text{ V}$ bei $I_F = 10 \text{ mA}$ $I_R = 7,5 \mu\text{A}$ bei $U_R = 3 \text{ V}$ $I_R = 13 \mu\text{A}$ bei $U_R = 10 \text{ V}$ $I_R = 70 \mu\text{A}$ bei $U_R = 50 \text{ V}$	$U_R = 55 \text{ V}$ $U_{RM} = 70 \text{ V}$ $I_O = 50 \text{ mA}$ $I_{FM} = 150 \text{ mA}$ $P_V = 135 \text{ mW}$ $\text{bei } t_{amb} = 45^\circ \text{C}$ $t_j = 100^\circ \text{C}$
AA 137 Germanium-HF-Diode für Regelspannungserzeuger in Fernsehgeräten Germanium RF diode for AVC rectifiers in TV receivers Größe • Outlines 17	$U_F = 0,9 \text{ V}$ bei $I_F = 10 \text{ mA}$ $I_R = 13 \mu\text{A}$ bei $U_R = 10 \text{ V}$ Der einem Schwingkreis von 39 MHz parallel liegende Dämpfungswiderstand der Dioden-Gleichrichter-Anordnung ist: Damping resistance of the detector parallel a resonance circuit of 39 Mc/s is: $R_d \geq 12 \text{ k}\Omega$	$U_R = 30 \text{ V}$ $U_{RM} = 40 \text{ V}$ $I_O = 12 \text{ mA}$ $I_{FM} = 25 \text{ mA}$ $P_V = 110 \text{ mW}$ $\text{bei } t_{amb} = 45^\circ \text{C}$ $t_j = 100^\circ \text{C}$
AA 138 Germanium-HF-Diode für Demodulator in Fernsehgeräten Germanium RF diode for rectifiers in TV receivers Größe • Outlines 17	$U_F = 0,9 \text{ V}$ bei $I_F = 10 \text{ mA}$ $I_R = 18 \mu\text{A}$ bei $U_R = 10 \text{ V}$ Der einem Schwingkreis von 39 MHz parallel liegende Dämpfungswiderstand der Dioden-Gleichrichter-Anordnung ist: Damping resistance of the detector parallel a resonance circuit of 39 Mc/s is: $R_d = 3,8 \text{ k}\Omega$	$U_R = 15 \text{ V}$ $U_{RM} = 25 \text{ V}$ $I_O = 12 \text{ mA}$ $I_{FM} = 25 \text{ mA}$ $P_V = 110 \text{ mW}$ bei $t_{amb} = 45^\circ \text{C}$ $t_j = 100^\circ \text{C}$
AA 139 Silizium-Kleinflächen-Diode, Universal-Diode mit kleiner Sperrspannung Silicon general purpose small junction diode for low reverse voltage Größe • Outlines 17	$U_F \leq 0,5 \text{ V}$ bei $I_F = 10 \text{ mA}$ $I_R \leq 100 \mu\text{A}$ bei $U_R = 20 \text{ V}$	$U_R = 20 \text{ V}$ $U_{RM} = 20 \text{ V}$ $I_{FM} = 400 \text{ mA}$ $I_F = 200 \text{ mA}$ $P_V = 65 \text{ mW}$ bei $t_{amb} = 45^\circ \text{C}$ $t_j = 90^\circ \text{C}$

Type	Kenndaten Typical characteristics			Grenzdaten Maximum ratings
AA 140 AA 142				
Germanium-HF-Diode für Demodulator-Schaltungen	$U_F = 0,3 \text{ V}$ bei $I_F = 0,1 \text{ mA}$	$U_R = 30 \text{ V}$		
Germanium RF diode for rectifier circuits	$U_F = 0,5 \text{ V}$ bei $I_F = 1 \text{ mA}$	$U_{RM} = 32 \text{ V}$		
Größe • Outlines	$U_F = 1 \text{ V}$ bei $I_F = 10 \text{ mA}$	$I_0 = 10 \text{ mA}$		
AA 140 AA 142	$U_F = 1,5 \text{ V}$ bei $I_F = 30 \text{ mA}$	$I_F = 20 \text{ mA}$		
57 38	$I_R = 0,4 \mu\text{A}$ bei $U_R = 0,1 \text{ V}$	$I_{FM} = 50 \text{ mA}$		
	$I_R = 0,9 \mu\text{A}$ bei $U_R = 1,5 \text{ V}$	$t_i = 100 \text{ }^\circ\text{C}$		
	$I_R = 4 \mu\text{A}$ bei $U_R = 10 \text{ V}$			
	$I_R = 6 \mu\text{A}$ bei $U_R = 30 \text{ V}$			
	$\eta = 87 \%$ bei $U_{HF} = 3 \text{ V}, f = 10,7 \text{ MHz}$			
	$R_L = 33 \text{ k}\Omega \parallel 330 \text{ pF}$			
2×AA 140 P				
2×AA 142 P				
Diodenpaar für Ratiodetektor und Diskriminatorschaltungen				
Matched pair for ratio detector and discriminator				

BA 147/...	$U_F = 0,84 \text{ V}$ bei $I_F = 50 \text{ mA}$	BA 147/25 $U_R = 25 \text{ V}$
Silizium-Universaldiode Silicon general purpose diode	BA 147/25 $I_R < 500 \text{ nA}$ bei $U_R = 25 \text{ V}$	BA 147/50 $U_R = 50 \text{ V}$
Größe • Outlines 17	BA 147/50 $I_R < 500 \text{ nA}$ bei $U_R = 50 \text{ V}$	BA 147/100 $U_R = 100 \text{ V}$
	BA 147/100 $I_R < 1 \mu\text{A}$ bei $U_R = 100 \text{ V}$	BA 147/150 $U_R = 150 \text{ V}$
	BA 147/150 $I_R < 1,5 \mu\text{A}$ bei $U_R = 150 \text{ V}$	BA 147/230 $U_R = 230 \text{ V}$
	BA 147/230 $I_R < 2 \mu\text{A}$ bei $U_R = 230 \text{ V}$	BA 147/300 $U_R = 300 \text{ V}$
	BA 147/300 $I_R < 3 \mu\text{A}$ bei $U_R = 300 \text{ V}$	$F = 100 \text{ mA}$
		$P_V = 210 \text{ mW}$
		bei $t_{amb} = 45 \text{ }^\circ\text{C}$
		$t_j = 150 \text{ }^\circ\text{C}$

Type	Kenndaten Typical characteristics	Grenzdaten Maximum ratings
BA 173 Diffundierte Silizium-Diode mit hoher Sperrspannung für schnelle Schalter und für Farb-FS-Empfänger Diffused silicon diode with high voltage for high-speed switching applications and television colour sets Größe • Outlines 17	$U_F \leq 1 \text{ V}$ bei $I_F = 100 \text{ mA}$ $I_R = 0,15 \mu\text{A}$ bei $U_R = 300 \text{ V}$ $C_T = 2,5 \text{ pF}$ bei $U_R = 10 \text{ V}$, $f = 1 \text{ MHz}$ $t_{rr} = 250 \text{ ns}$ beim Schalten von $I_F = 10 \text{ mA}$ auf $I_R = 10 \text{ mA}$ bei $i_R = 1 \text{ mA}$	$U_R = 300 \text{ V}$ $U_{RS} = 350 \text{ V}$ $I_F = 300 \text{ mA}$ $P_V = 230 \text{ mW}$ bei $t_{amb} = 45^\circ\text{C}$ $t_j = 150^\circ\text{C}$
BA 174 Silizium-Epitaxial-Planar-Diode für Module. Geeignet für sehr schnelle Schaltanwendungen Silicon epitaxial planar diode for moduls. Suitable for very high switching applications Größe • Outlines 34	$U_F = 0,88 \text{ V}$ bei $I_F = 30 \text{ mA}$ $I_R = 9 \text{ nA}$ bei $U_R = 25 \text{ V}$ $U_R \approx 35 \text{ V}$ bei $I_R = 5 \mu\text{A}$ $C_0 = 2,3 \text{ pF}$ bei $f = 1 \text{ MHz}$, $U_{HF\text{eff}} = 50 \text{ mA}$ $t_{rr} \leq 4 \text{ ns}$ beim Schalten von $I_F = 10 \text{ mA}$ auf $I_R = 10 \text{ mA}$ bei $i_R = 1 \text{ mA}$	$U_R = 25 \text{ V}$ $U_{RM} = 35 \text{ V}$ $I_O = 75 \text{ mA}$ $I_{FM} = 225 \text{ mA}$ $P_V = 50 \text{ mW}$ bei $t_{amb} = 45^\circ\text{C}$ $t_j = 125^\circ\text{C}$

BA 175 Silizium-Epitaxial-Planar-Universal-Diode für Module Silicon epitaxial planar universal diode for moduls Größe • Outlines 34	$U_F \leq 1 \text{ V}$ bei $I_F = 100 \text{ mA}$ $I_R \leq 100 \text{ nA}$ bei $U_R = 50 \text{ V}$ $U_R \leq 75 \text{ V}$ bei $I_R = 100 \mu\text{A}$ $C_T \leq 8 \text{ pF}$ bei $f = 1 \text{ MHz}$, $U_{HF\text{eff}} = 50 \text{ mV}$ $t_{rr} \leq 300 \text{ ns}$ beim Schalten von $I_F = 10 \text{ mA}$ auf $U_R = 6 \text{ V}$, $R_L = 100 \Omega$ bei $i_R = 1 \text{ mA}$	$U_R = 50 \text{ V}$ $U_{RM} = 75 \text{ V}$ $I_O = 200 \text{ mA}$ $I_{FM} = 600 \text{ mA}$ $P_V = 50 \text{ mW}$ bei $t_{amb} = 45^\circ\text{C}$ $t_j = 125^\circ\text{C}$
BA 176 Silizium-Diode für Antennenschutz Silicon protective diode for aerials Größe • Outlines 17	$U_F \leq 1,5 \text{ V}$ bei $I_F = 0,4 \text{ A}$ $I_R \leq 1 \mu\text{A}$ bei $U_R = 20 \text{ V}$ $U_Z \leq 120 \text{ V}$ bei $I_Z = 1 \text{ mA}$ $C_T \leq 15 \text{ pF}$ bei $U_R = 2 \text{ V}$, $f = 30 \text{ MHz}$	$P_V = 250 \text{ mW}$ bei $t_{amb} = 45^\circ\text{C}$

Type	Kenndaten Typical characteristics	Grenzdaten Maximum ratings
BA 177 Diffundierte Silizium-Diode, besonders als VHF-Schalter geeignet Diffused silicon diode, designed for use as VHF switches Größe • Outlines 17	$U_F \leq 1 \text{ V}$ bei $I_F = 100 \text{ mA}$ $I_R \leq 100 \text{ nA}$ bei $U_R = 30 \text{ V}$ $r_F = 0,55 \Omega$ bei $I_F = 50 \text{ mA}, f = 100 \text{ MHz}$ $r_F = 0,45 \Omega$ bei $I_F = 100 \text{ mA}, f = 100 \text{ MHz}$ $C_T = 4,5 \text{ pF}$ bei $U_R = 2 \text{ V}, f = 1 \text{ MHz}$ $C_T = 2 \text{ pF}$ bei $U_R = 30 \text{ V}, f = 1 \text{ MHz}$	$U_R = 50 \text{ V}$ $I_F = 100 \text{ mA}$ $P_V = 210 \text{ mW}$ bei $t_{amb} = 45^\circ\text{C}$ $t_j = 150^\circ\text{C}$
BA 178 Silizium-Planar-Diode für Bereichsumschaltung im VHF-Tuner Silicon planar diode for use as band selector in VHF tuner Größe • Outlines 44	$U_F \leq 1,2 \text{ V}$ bei $I_F = 100 \text{ mA}$ $I_R \leq 100 \text{ nA}$ bei $U_R = 20 \text{ V}$ $I_R \leq 1 \mu\text{A}$ bei $U_R = 20 \text{ V}, t_{amb} = 60^\circ\text{C}$ $U_R \leq 35 \text{ V}$ bei $I_R = 10 \mu\text{A}$ $C_T = 1,8 \text{ pF}$ bei $U_R = 3 \text{ V}, f = 0,5 \text{ MHz}$ $C_T = 1,3 \text{ V}$ bei $U_R = 30 \text{ V}, f = 0,5 \text{ MHz}$ $r_F \leq 1,3 \Omega$ bei $I_F = 500 \text{ mA}, f = 200 \text{ MHz}$	$U_R = 35 \text{ V}$ $I_F = 100 \text{ mA}$ $t_{amb} = 60^\circ\text{C}$

BY 167 Silizium-Hochspannungs-gleichrichter im Kunststoffgehäuse für Zeilen-Endstufen in FS-Empfängern Silicon high voltage rectifier in epoxy case for horizontal deflection circuits in TV receivers Größe • Outlines 46	$U_F = 9 \text{ V}$ bei $I_F = 250 \text{ mA}, t_{amb} = 45^\circ\text{C}$ $I_R < 1 \mu\text{A}$ bei $U_R = 7 \text{ kV}$ $t_{rr} = 300 \text{ ns}$ bei $I_F = I_R = 10 \text{ mA}, i_R = 1 \text{ mA}$	$U_R = 7 \text{ kV}$ $U_{RM} = 7,5 \text{ kV}$ $I_F = 250 \text{ mA}$ $i_{FS} = 10 \text{ A}$ bei $t_p < 10 \text{ ms}$																								
BZ 102/... Silizium-Stabilisator-Diodenreihe Silicon diodes for voltage stabilization Größe • Outlines 17	<table border="1"> <thead> <tr> <th></th> <th>U_F</th> <th>R_F</th> <th>bei I_F</th> </tr> </thead> <tbody> <tr> <td>BZ 102/0 V 7</td> <td>0,65...0,75 V</td> <td>6,5 Ω</td> <td>5 mA</td> </tr> <tr> <td>BZ 102/1 V 4</td> <td>1,3 ...1,5 V</td> <td>13 Ω</td> <td>5 mA</td> </tr> <tr> <td>BZ 102/2 V 1</td> <td>1,9 ...2,3 V</td> <td>19,5 Ω</td> <td>5 mA</td> </tr> <tr> <td>BZ 102/2 V 8</td> <td>2,6 ...3 V</td> <td>26 Ω</td> <td>5 mA</td> </tr> <tr> <td>BZ 102/3 V 4</td> <td>3,2 ...3,7 V</td> <td>32,5 Ω</td> <td>5 mA</td> </tr> </tbody> </table> <p>$TK_U = 26 \cdot 10^{-4} \dots 23 \cdot 10^{-4}/^\circ\text{C}$ bei $I_Z = 5 \text{ mA}$ $I_R < 1 \mu\text{A}$ bei $U_R = 5 \text{ V}$</p>		U_F	R_F	bei I_F	BZ 102/0 V 7	0,65...0,75 V	6,5 Ω	5 mA	BZ 102/1 V 4	1,3 ...1,5 V	13 Ω	5 mA	BZ 102/2 V 1	1,9 ...2,3 V	19,5 Ω	5 mA	BZ 102/2 V 8	2,6 ...3 V	26 Ω	5 mA	BZ 102/3 V 4	3,2 ...3,7 V	32,5 Ω	5 mA	$P_V = 250 \text{ mW}$ bei $t_{amb} = 45^\circ\text{C}$ $t_j = 150^\circ\text{C}$
	U_F	R_F	bei I_F																							
BZ 102/0 V 7	0,65...0,75 V	6,5 Ω	5 mA																							
BZ 102/1 V 4	1,3 ...1,5 V	13 Ω	5 mA																							
BZ 102/2 V 1	1,9 ...2,3 V	19,5 Ω	5 mA																							
BZ 102/2 V 8	2,6 ...3 V	26 Ω	5 mA																							
BZ 102/3 V 4	3,2 ...3,7 V	32,5 Ω	5 mA																							

Type	Kenndaten Typical characteristics	Grenzdaten Maximum ratings
BA 125 Nachstimmdiode für VHF-Tuner AFC diode for VHF tuner Größe • Outlines 17	$C_T = 40 \text{ pF}$ bei $U_R = 2 \text{ V}$, $f = 30 \text{ MHz}$ $R_S = 0,5 \Omega$ bei $U_R = 2 \text{ V}$, $f = 30 \text{ MHz}$ $Q = 260$ bei $U_R = 2 \text{ V}$, $f = 30 \text{ MHz}$ $U_F = 0,85 \text{ V}$ bei $I_F = 60 \text{ mA}$ $I_R = 3 \text{ nA}$ bei $U_R = 10 \text{ V}$	$U_R = 30 \text{ V}$ $U_{RM} = 30 \text{ V}$ $P_V = 250 \text{ mW}$ bei $t_{amb} = 45^\circ\text{C}$ $t_j = 150^\circ\text{C}$
BA 149/... Diode für Abstimm-schaltungen vornehmlich im UHF-Bereich Diode for tuning in the UHF region Größe • Outlines 17	$U_F = 0,85 \text{ V}$ bei $I_F = 60 \text{ mA}$ $I_R \leq 100 \text{ nA}$ bei $U_R = 50 \text{ V}$ R_S -Gruppen bei $f = 600 \text{ MHz}$, $U_R = 2 \text{ V}$ Min. Max. BA 149/...E... R_S 0,7 Ω BA 149/...V... R_S 0,6 1,3 Ω C_T -Gruppen bei $f = 10 \text{ MHz}$, $U_R = 2 \text{ V}$ Min. Max. BA 149/6...2 C_T 5,8 6,3 pF BA 149/6...6 C_T 6,1 6,7 pF BA 149/7...0 C_T 6,5 7,1 pF BA 149/7...4 C_T 6,9 7,5 pF BA 149/7...8 C_T 7,3 7,9 pF BA 149/8...2 C_T 7,7 8,3 pF	$U_R = 50 \text{ V}$ $U_{RM} = 50 \text{ V}$ $P_V = 200 \text{ mW}$ bei $t_{amb} = 45^\circ\text{C}$ $t_j = 150^\circ\text{C}$

BA 150 Diode für Abstimm-schaltungen vornehmlich im VHF-Bereich Diode for tuning in the VHF region Größe • Outlines 17	$U_F = 0,85 \text{ V}$ bei $I_F = 60 \text{ mA}$ $I_R \leq 50 \text{ nA}$ bei $U_R = 25 \text{ V}$ $C_T = 55 \text{ pF}$ bei $U_R = 2 \text{ V}$, $f = 30 \text{ MHz}$ $\tau \leq 13 \text{ ps}$ bei $U_R = 2 \text{ V}$, $f = 100 \text{ MHz}$ $Q = 1000$ bei $U_R = 20 \text{ V}$, $f = 30 \text{ MHz}$ $Q = 150$ bei $U_R = 2 \text{ V}$, $f = 100 \text{ MHz}$	$U_R = 25 \text{ V}$ $U_{RM} = 28 \text{ V}$ $P_V = 200 \text{ mW}$ bei $t_{amb} = 45^\circ\text{C}$ $t_j = 150^\circ\text{C}$
BB 102/... Diffundierte Silizium-Kapazitäts-Variations-Diode Diffused silicon voltage-variable capacitance diode Größe • Outlines 17	$U_F < 0,9 \text{ V}$ bei $I_F = 60 \text{ mA}$ $I_R < 100 \text{ nA}$ bei $U_R = 50 \text{ V}$ $R_S < 1,3 \Omega$ bei $U_R = 2 \text{ V}$, $f = 100 \text{ MHz}$ $C_T = 13,8...20,2 \text{ pF}$ bei $U_R = 2 \text{ V}$	$U_R = 50 \text{ V}$ $P_y = 250 \text{ mW}$ $t_j = 150^\circ\text{C}$

C_T in Gruppen sortiert • selected in groups:

- BB 102/15** 13,8...15,2 pF
- BB 102/16** 14,8...16,2 pF
- BB 102/17** 15,8...17,2 pF
- BB 102/18** 16,8...18,2 pF
- BB 102/19** 17,8...19,2 pF
- BB 102/20** 18,8...20,2 pF

Type	Kenndaten Typical characteristics	Grenzdaten Maximum ratings
BAX 20 BAX 21 BAX 22 Silizium-Epitaxial-Planar-Universal-Diode Silicon epitaxial planar general purpose diode Größe • Outlines 18	BAX 20 $I_F = 1 \text{ mA}$ bei $U_F = 1 \text{ V}$ $I_R = 100 \text{ nA}$ bei $U_R = 25 \text{ V}$ $I_R = 100 \text{ nA}$ bei $U_R = 50 \text{ V}$ $I_R = 100 \text{ nA}$ bei $U_R = 100 \text{ V}$ $C_T = 4 \text{ pF}$ bei $U_R = 0$, $f = 1 \text{ MHz}$ $t_{rr} = 250 \text{ ns}$ bei $I_F = 10 \text{ mA}$ auf $U_R = 6 \text{ V}$, $R_L = 100 \Omega$, gemessen bei $i_R = 1 \text{ mA}$ BAX 21 $I_F = 1 \text{ mA}$ bei $U_F = 1 \text{ V}$ $I_R = 100 \text{ nA}$ bei $U_R = 25 \text{ V}$ $I_R = 100 \text{ nA}$ bei $U_R = 50 \text{ V}$ $I_R = 100 \text{ nA}$ bei $U_R = 100 \text{ V}$ $C_T = 4 \text{ pF}$ bei $U_R = 0$, $f = 1 \text{ MHz}$ $t_{rr} = 250 \text{ ns}$ bei $I_F = 10 \text{ mA}$ auf $U_R = 6 \text{ V}$, $R_L = 100 \Omega$, gemessen bei $i_R = 1 \text{ mA}$ BAX 22 $I_F = 1 \text{ mA}$ bei $U_F = 1 \text{ V}$ $I_R = 100 \text{ nA}$ bei $U_R = 25 \text{ V}$ $I_R = 100 \text{ nA}$ bei $U_R = 50 \text{ V}$ $I_R = 100 \text{ nA}$ bei $U_R = 100 \text{ V}$ $C_T = 4 \text{ pF}$ bei $U_R = 0$, $f = 1 \text{ MHz}$ $t_{rr} = 250 \text{ ns}$ bei $I_F = 10 \text{ mA}$ auf $U_R = 6 \text{ V}$, $R_L = 100 \Omega$, gemessen bei $i_R = 1 \text{ mA}$	BAX 20 $U_R = 25 \text{ V}$ $U_{RM} = 35 \text{ V}$ $I_0 = 75 \text{ mA}$ BAX 21 $U_R = 50 \text{ V}$ $U_{RM} = 75 \text{ V}$ $I_0 = 75 \text{ mA}$ $I_{FM} = 225 \text{ mA}$ $P_V = 440 \text{ mW}$ bei $t_{amb} = 45^\circ\text{C}$ $t_j = 200^\circ\text{C}$ BAX 22 $U_R = 100 \text{ V}$ $U_{RM} = 125 \text{ V}$ $I_0 = 75 \text{ mA}$ $I_{FM} = 225 \text{ mA}$ $P_V = 440 \text{ mW}$ bei $t_{amb} = 45^\circ\text{C}$ $t_j = 200^\circ\text{C}$
BAX 25 BAX 26 Schottky-Diode für extrem schnelle Schaltanwendungen Schottky diode for extreme fast switching applications Größe • Outlines 17	BAX 25 $I_F = 30 \text{ mA}$ bei $U_F = 1 \text{ V}$ $I_R = 2 \text{ mA}$ bei $U_R = 3 \text{ V}$ $C_T = 0,6 \text{ pF}$ bei $U_R = 0 \text{ V}$, $f = 1 \text{ MHz}$ $t_{rr} \leq 0,5 \text{ ns}$ bei $I_F = 10 \text{ mA}$ auf $U_R = 6 \text{ V}$, $R_L = 100 \Omega$ BAX 26 $I_F = 70 \text{ mA}$ bei $U_F = 1 \text{ V}$ $I_R = 10 \text{ nA}$ bei $U_R = 3 \text{ V}$ $C_T = 1 \text{ pF}$ bei $U_R = 0 \text{ V}$, $f = 1 \text{ MHz}$ $t_{rr} = 0,5 \text{ ns}$ bei $I_F = 10 \text{ mA}$ auf $U_R = 6 \text{ V}$, $R_L = 100 \Omega$	BAX 25 $U_R = 15 \text{ V}$ $U_{RM} = 15 \text{ V}$ $I_{FM} = 50 \text{ mA}$ $P_V = 120 \text{ mW}$ bei $t_{amb} = 45^\circ\text{C}$ $t_j = 100^\circ\text{C}$ BAX 26 $U_R = 30 \text{ V}$ $U_{RM} = 30 \text{ V}$ $I_{FM} = 100 \text{ mA}$ $P_V = 120 \text{ mW}$ bei $t_{amb} = 45^\circ\text{C}$ $t_j = 100^\circ\text{C}$

Type	Kenndaten Typical characteristics	Grenzdaten Maximum ratings
BAY 67 Diffundierte Silizium-Diode zum Umschalten von HF-Signalen Diffused silicon diode for RF signal switching Größe • Outlines 17	$U_F = 1 \text{ V}$ bei $I_F = 200 \text{ mA}$ $I_R = 100 \text{ nA}$ bei $U_R = 35 \text{ V}$ $C_T = 0,8 \text{ pF}$ bei $U_R = 10 \text{ V}$ $r_f = 5 \Omega$ bei $I_F = 10 \text{ mA}$ $r_f = 1,3 \Omega$ bei $I_F = 50 \text{ mA}$	$U_R = 35 \text{ V}$ $U_{RM} = 35 \text{ V}$ $I_F = 200 \text{ mA}$ $P_V = 250 \text{ mW}$ bei $t_{amb} = 25^\circ\text{C}$ $t_j = 175^\circ\text{C}$

Type	Kenndaten Typical characteristics	Grenzdaten Maximum ratings
BAY 68 Silizium-Epitaxial-Planar-Diode für sehr schnelle Schaltanwendungen Silicon epitaxial planar diode for fast switching applications Größe • Outlines 18	$U_F \leq 1 \text{ V}$ bei $I_F = 100 \text{ mA}$ $I_R = 100 \text{ nA}$ bei $U_R = 25 \text{ V}$ $C_T \leq 5 \text{ pF}$ bei $U_R = 0 \text{ V}, f = 1 \text{ MHz}$ $t_{rr} \leq 10 \text{ ns}$ beim Schalten von $I_F = 10 \text{ mA}$ auf $I_R = 10 \text{ mA}, R_L = 100 \Omega$ gemessen bei $i_R = 1 \text{ mA}$	$U_{RM} = 35 \text{ V}$ $I_0 = 75 \text{ mA}$ $I_{FM} = 225 \text{ mA}$ $P_V = 440 \text{ mW}$ bei $t_{amb} = 45^\circ\text{C}$ $t_j = 175^\circ\text{C}$
BAY 69 Silizium-Epitaxial-Planar-Diode für sehr schnelle Schaltanwendungen Silicon epitaxial planar diode for fast switching applications Größe • Outlines 18	$U_F \leq 1 \text{ V}$ bei $I_F = 100 \text{ mA}$ $I_R = 100 \text{ nA}$ bei $U_R = 50 \text{ V}$ $C_T \leq 5 \text{ pF}$ bei $U_R = 0 \text{ V}, f = 1 \text{ MHz}$ $t_{rr} \leq 10 \text{ ns}$ beim Schalten von $I_F = 10 \text{ mA}$ auf $I_R = 10 \text{ mA}, R_L = 100 \Omega$ gemessen bei $i_R = 1 \text{ mA}$	$U_{RM} = 60 \text{ V}$ $I_0 = 75 \text{ mA}$ $I_{FM} = 225 \text{ mA}$ $P_V = 440 \text{ mW}$ bei $t_{amb} = 45^\circ\text{C}$ $t_j = 175^\circ\text{C}$

BAY 70* Silizium-Kapazitäts-Variations-Diode für Nachstimm- und Abstimm-Schaltungen Silicon varicap for tuning and AFC Größe • Outlines 17	$C_T = 5 \text{ pF}$ bei $U_R = 2 \text{ V}, f = 100 \text{ MHz}$ $R_S = 1,5 \Omega$ bei $U_R = 2 \text{ V}, f = 100 \text{ MHz}$ $Q = 700$ bei $U_R = 2 \text{ V}, f = 30 \text{ MHz}$ $Q = 100$ bei $U_R = 2 \text{ V}, f = 200 \text{ MHz}$ $U_F = 0,85 \text{ V}$ bei $I_F = 60 \text{ mA}$ $i_R = 3 \text{ nA}$ bei $U_R = 10 \text{ V}$	$U_R = 30 \text{ V}$ $U_{RM} = 30 \text{ V}$ $P_V = 250 \text{ mW}$ bei $t_{amb} = 25^\circ\text{C}$ $t_j = 175^\circ\text{C}$
* Nicht für Neuentwicklung		

BAY 77* Silizium-Speicher-Schaltdiode Silicon snap off diode Größe • Outlines 17	$U_F = 0,85 \text{ V}$ bei $I_F = 100 \text{ mA}$ $I_R = 20 \text{ nA}$ bei $U_R = 30 \text{ V}$ $C_T = 7 \text{ pF}$ bei $U_R = 0 \text{ V}, f = 1 \text{ MHz}$ $t_s = 2,3 \text{ ns}$ bei $I_F = 100 \text{ mA},$ $I_R = 100 \text{ mA}, R_L = 100 \Omega$ $t_t = 0,8 \text{ ns}$ bei $I_F = 100 \text{ mA},$ $I_R = 100 \text{ mA}$ $\tau_s = 3,3 \text{ ns}$ bei $I_F = 100 \text{ mA}$	$U_R = 30 \text{ V}$ $I_{FM} = 600 \text{ mA}$ $P_V = 200 \text{ mW}$ bei $t_{amb} = 45^\circ\text{C}$ $t_j = 175^\circ\text{C}$
* Nicht für Neuentwicklung		

Type	Kenndaten Typical characteristics	Grenzdaten Maximum ratings
BAY 86 Diffundierte Silizium-Universal-Diode Diffused silicon general purpose diode Größe • Outlines 17	$U_F = 0,82 \text{ V}$ bei $I_F = 100 \text{ mA}$ $I_R = 21 \text{ nA}$ bei $U_R = 50 \text{ V}$	$U_R = 30 \text{ V}$ $U_{RM} = 35 \text{ V}$ $I_O = 250 \text{ mA}$ $I_{FM} = 800 \text{ mA}$ $P_V = 250 \text{ mW}$ bei $t_{amb} = 45^\circ\text{C}$ $t_j = 175^\circ\text{C}$
BAY 87 Diffundierte Silizium-Universal-Diode Diffused silicon general purpose diode Größe • Outlines 17	$U_F = 0,82 \text{ V}$ bei $I_F = 100 \text{ mA}$ $I_R = 8,0 \text{ nA}$ bei $U_R = 100 \text{ V}$	$U_R = 100 \text{ V}$ $U_{RM} = 120 \text{ V}$ $I_O = 250 \text{ mA}$ $I_{FM} = 800 \text{ mA}$ $P_V = 250 \text{ mW}$ bei $t_{amb} = 45^\circ\text{C}$ $t_j = 175^\circ\text{C}$
BAY 88 Diffundierte Silizium-Universal-Diode Diffused silicon general purpose diode Größe • Outlines 17	$U_F = 0,82 \text{ V}$ bei $I_F = 100 \text{ mA}$ $I_R = 13 \text{ nA}$ bei $U_R = 300 \text{ V}$	$U_R = 300 \text{ V}$ $U_{RM} = 350 \text{ V}$ $I_O = 250 \text{ mA}$ $I_{FM} = 800 \text{ mA}$ $P_V = 250 \text{ mW}$ bei $t_{amb} = 45^\circ\text{C}$ $t_j = 175^\circ\text{C}$

BAY 89 Diffundierte Silizium-Universal-Diode Diffused silicon general purpose diode Größe • Outlines 17	$U_F = 0,82 \text{ V}$ bei $I_F = 100 \text{ mA}$ $I_R = 110 \text{ nA}$ bei $U_R = 500 \text{ V}$	$U_R = 500 \text{ V}$ $U_{RM} = 600 \text{ V}$ $I_{FM} = 800 \text{ mA}$ $P_V = 190 \text{ mW}$ bei $t_{amb} = 45^\circ\text{C}$ $t_j = 125^\circ\text{C}$
BAY 90 Diffundierte Silizium-Universal-Diode Diffused silicon general purpose diode Größe • Outlines 17	$U_F = 0,82 \text{ V}$ bei $I_F = 100 \text{ mA}$ $I_R = 280 \text{ nA}$ bei $U_R = 800 \text{ V}$	$U_R = 800 \text{ V}$ $U_{RM} = 1000 \text{ V}$ $I_{FM} = 800 \text{ mA}$ $P_V = 190 \text{ mW}$ bei $t_{amb} = 45^\circ\text{C}$ $t_j = 125^\circ\text{C}$
BAY 91 Diffundierte Silizium-Universal-Diode Diffused silicon general purpose diode Größe • Outlines 17	$U_F = 0,82 \text{ V}$ bei $I_F = 100 \text{ mA}$ $I_R = 810 \text{ nA}$ bei $U_R = 1500 \text{ V}$	$U_R = 1500 \text{ V}$ $U_{RM} = 2000 \text{ V}$ $I_{FM} = 800 \text{ mA}$ $P_V = 190 \text{ mW}$ bei $t_{amb} = 45^\circ\text{C}$ $t_j = 125^\circ\text{C}$

Silizium-Zenerdioden • Silicon zener diodes

Type	Kenndaten Typical characteristics				Grenzdaten Maximum ratings
BZX 51	$U_Z = 8,6 \pm 0,4 \text{ V}$	bei $I_Z = 10 \text{ mA}$			$I_{ZM} = 25 \text{ mA}$
BZX 52	$r_Z = 9 \Omega$	bei $I_Z = 10 \text{ mA}$			$P_V = 250 \text{ mW}$
BZX 53	TK_U bei $I_Z = 10 \text{ mA}$, 0...100 °C			bei $t_{amb} = 45^\circ\text{C}$
BZX 54	$\text{BZX 51} < \pm 10 \cdot 10^{-5}/^\circ\text{C}$				$t_j = 150^\circ\text{C}$
Silizium-Referenz-Elemente, Z-Dioden mit kleinem Temperaturkoeffizienten zum Erzeugen hochkonstan- ter Bezugsspannungen	$\text{BZX 52} < \pm 5 \cdot 10^{-5}/^\circ\text{C}$				
Silicon reference-diodes, Z diodes with small temperature coefficient for voltage regulation	$\text{BZX 53} < \pm 2 \cdot 10^{-5}/^\circ\text{C}$				
Größe • Outlines 17	$\text{BZX 54} < \pm 1 \cdot 10^{-5}/^\circ\text{C}$				
BZX 67/C...	U_Z	r_Z	bei I_Z	P_V	
Silizium-Leistungs-Z-Dioden zur Spannungsstabilisierung				bei $t_{amb} = 45^\circ\text{C}$	
Silicon power Z-diodes for voltage stabilization	BZX 67/C 12 11,4... 12,7 V	4 Ω	50 mA	$P_V = 1,3 \text{ W}$	
Größe • Outlines 42	BZX 67/C 13 12,5... 14 V	5 Ω	50 mA	$P_V = 10,7 \text{ W}$	
	BZX 67/C 15 13,8... 15,8 V	5 Ω	50 mA	bei $t_{case} = 45^\circ\text{C}$	
	BZX 67/C 16 15,3... 17 V	6 Ω	25 mA	$t_j = 150^\circ\text{C}$	
	BZX 67/C 18 16,8... 19 V	6 Ω	25 mA		

BZX 67/C 20	18,8... 21 V	6 Ω	25 mA	
BZX 67/C 22	20,8... 23 V	6 Ω	25 mA	
BZX 67/C 24	22,8... 25,6 V	7 Ω	25 mA	
BZX 67/C 27	25,4... 28,6 V	7 Ω	25 mA	
BZX 67/C 30	28,4... 31,6 V	8 Ω	25 mA	
BZX 67/C 33	31,3... 35 V	8 Ω	25 mA	
BZX 67/C 36	34 ... 38 V	21 Ω	10 mA	
BZX 67/C 39	37 ... 41 V	21 Ω	10 mA	
BZX 67/C 43	40 ... 46 V	24 Ω	10 mA	
BZX 67/C 47	44 ... 50 V	24 Ω	10 mA	
BZX 67/C 51	48 ... 54 V	25 Ω	10 mA	
BZX 67/C 56	23 ... 60 V	25 Ω	10 mA	
BZX 67/C 62	58 ... 66 V	25 Ω	10 mA	
BZX 67/C 68	64 ... 72 V	25 Ω	10 mA	
BZX 67/C 75	71 ... 79 V	30 Ω	10 mA	
BZX 67/C 82	77 ... 88 V	30 Ω	10 mA	
BZX 67/C 91	85 ... 96 V	60 Ω	5 mA	
BZX 67/C 100	94 ... 106 V	60 Ω	5 mA	
BZX 67/C 110	104 ... 116 V	80 Ω	5 mA	
BZX 67/C 120	114 ... 127 V	80 Ω	5 mA	
BZX 67/C 130	125 ... 140 V	110 Ω	5 mA	
BZX 67/C 150	138 ... 155 V	110 Ω	5 mA	
BZX 67/C 160	153 ... 170 V	150 Ω	5 mA	
BZX 67/C 180	168 ... 190 V	150 Ω	5 mA	
BZX 67/C 200	188 ... 210 V	150 Ω	5 mA	

Type	Kenndaten Typical characteristics				Grenzdaten Maximum ratings
BZY 92/C ...					
Silizium-Z-Dioden zur Spannungsstabilisierung					
Silicon Z-diodes for voltage stabilization					
Größe · Outlines 23					
	U _Z -Bereich	r _Z	gemessen bei I _Z	I _Z	= P _V /U _Z
	3,7 ... 4,1 V	3,5 < 7 Ω	100 mA	I _{FM}	= 2 A
BZY 92/C 3 V 9	4,0 ... 4,6 V	3,5 < 7 Ω	100 mA	P _V	= 1,1 W
BZY 92/C 4 V 3	4,4 ... 5,0 V	2 < 5 Ω	100 mA	t _j	= 150 °C
BZY 92/C 4 V 7	4,8 ... 5,4 V	2 < 5 Ω	100 mA		
BZY 92/C 5 V 1	5,3 ... 6,0 V	1 < 2 Ω	100 mA		
BZY 92/C 5 V 6	5,8 ... 6,6 V	1 < 2 Ω	100 mA		
BZY 92/C 6 V 2	6,4 ... 7,2 V	1 < 2 Ω	100 mA		
BZY 92/C 6 V 8	7,1 ... 7,9 V	1 < 2 Ω	100 mA		
BZY 92/C 7 V 5	7,7 ... 8,8 V	1 < 2 Ω	100 mA		
BZY 92/C 8 V 2	8,5 ... 9,6 V	2 < 4 Ω	50 mA		
BZY 92/C 9 V 1	9,4 ... 10,6 V	2 < 4 Ω	50 mA		
BZY 92/C 10	10,4 ... 11,6 V	4 < 7 Ω	50 mA		
BZY 92/C 11	11,4 ... 12,7 V	4 < 7 Ω	50 mA		
BZY 92/C 12					

	U _Z -Bereich	r _Z	gemessen bei I _Z	I _Z	= P _V /U _Z
				I _{FM}	= 2 A
BZY 92/C 13	12,5 ... 14,0 V	6 < 11 Ω	50 mA	P _V	= 1,1 W
BZY 92/C 15	13,8 ... 15,8 V	6 < 11 Ω	50 mA	t _j	= 150 °C
BZY 92/C 16	15,3 ... 17,0 V	6 < 15 Ω	25 mA		
BZY 92/C 18	16,8 ... 19,0 V	6 < 15 Ω	25 mA		
BZY 92/C 20	18,8 ... 21,0 V	6 < 15 Ω	25 mA		
BZY 92/C 22	20,8 ... 23,0 V	6 < 15 Ω	25 mA		
BZY 92/C 24	22,8 ... 25,6 V	7 < 15 Ω	25 mA		
BZY 92/C 27	25,4 ... 28,6 V	7 < 15 Ω	25 mA		
BZY 92/C 30	28,4 ... 31,6 V	8 < 15 Ω	25 mA		
BZY 92/C 33	31,3 ... 35 V	8 < 15 Ω	25 mA		
BZY 92/C 36	34 ... 38 V	21 < 40 Ω	10 mA		

Type	Kenndaten Typical characteristics	Grenzdaten Maximum ratings
BPY 79 Silizium-Photo-Element Silicon photovoltaic cell Größe • Outlines 51	$U_0 \approx 450 \text{ mV}$ bei $E = 10\,000 \text{ Lux}$ $I_K \approx 200 \mu\text{A}$ bei $E = 10\,000 \text{ Lux}$ $s_K \approx 20 \text{ nA/lux}$ $I_R \approx 10 \mu\text{A}$ bei $U_R = 5 \text{ V}, E = 0 \text{ Lux}$ $U_R \approx 10 \text{ V}$ bei $I_R = 100 \mu\text{A}, E = 0 \text{ Lux}$ bei $t_{amb} = 25^\circ \text{C}$ und Lichtquelle: Wolfram-Glühlampe mit 2850°K Farbtemperatur at $t_{amb} = 25^\circ \text{C}$ and Light source: tungsten filament lamp at 2850°K colour temperature	$U_R = 10 \text{ V}$ $t_{amb} = 100^\circ \text{C}$
CQY 10 Galliumarsenid-Lumineszenz-Diode Gallium arsenide electro luminescent diode	$U_F = 1,3 \text{ V}$ bei $I_F = 50 \text{ mA}$ $U_R = 4...15 \text{ V}$ bei $I_R = 10 \mu\text{A}$ $r_F = 2 \Omega$ bei $I_F = 2 \mu\text{A}$ $C_o = 140 \text{ pF}$ bei $U_R = 0$ $\lambda = 9100 \text{ Å}$ $\Delta\lambda = 350 \text{ Å}$ Gesamte Strahlungsleistung Total radiation power output 0,5...1,5 W bei $I_F = 100 \text{ mA}$	$I_F = 100 \text{ mA}$ $i_{FS} = 2,5 \text{ A}$ bei $t_p = 1 \mu\text{s}$



Halbleiter-Sonderbauelemente • Semiconductor special devices

Type	Kenndaten Typical characteristics	Grenzdaten Maximum ratings
BRY 49 BRY 50 BRY 51 Kleinleistungs-Thyristoren Small power thyristors Größe • Outlines 52	$I_N = 100 \text{ mA}$ bei $t_{amb} = 45^\circ \text{C}$ $I_R \leq 0,1 \mu\text{A}$ bei $U_{DR} = U_{DRL}, R_{GK} = 5 \text{ k}\Omega$ $I_R \leq 0,1 \mu\text{A}$ bei $U_{RR} = U_{RRL}, R_{GK} = 5 \text{ k}\Omega$ $I_{GKR} \leq 1 \mu\text{A}$ bei $-U_{GK} = 5 \text{ V}$ $I_{GKT} \leq 20 \mu\text{A}$ bei $U_D = 15 \text{ V}, R_L = 1 \text{ k}\Omega$ $I_H \leq 2 \text{ mA}$ $U_F \leq 1 \text{ V}$ bei $I_F = 10 \text{ mA}$ $U_F \leq 2 \text{ V}$ bei $I_F = 200 \text{ mA}$ $t_{on} \leq 0,25 \mu\text{s}$ bei $I_D = 5 \text{ mA}, R_L = 1 \text{ k}\Omega, R_{GK} = 5 \text{ k}\Omega$ $t_{off} \leq 5 \mu\text{s}$ bei $R_{GK} = 1 \text{ k}\Omega$	BRY 49 BRY 50 BRY 51 $U_{DRL} = 30 \quad 70 \quad 120 \text{ V}$ $U_{RRL} = 30 \quad 70 \quad 120 \text{ V}$ $dUD/dt = 50 \quad 50 \quad 50 \text{ V}/\mu\text{s}$ $I_{FOL} = 0,3 \quad 0,3 \quad 0,3 \text{ A}$ $I_{FRL} = 2 \quad 2 \quad 2 \text{ A}$ $P_{tot} = 210 \quad 210 \quad 210 \text{ mW}$ bei $t_{amb} \leq 45^\circ \text{C}$ $t_j = 150 \quad 150 \quad 150 \text{ }^\circ\text{C}$



Type	Kenndaten Typical characteristics			Grenzdaten Maximum ratings
BSV 56 A BSV 56 B BSV 56 C <p>Silizium-Unijunction-Transistoren, besonders zur Ansteuerung von Thyristoren</p> <p>Silicon unijunction transistors, especially for controlling thyristors</p> <p>Größe • Outlines 53</p>	BSV 56 A $R_{BB} = 4,7 \dots 9,1$ bei $U_{BB} = 3 \text{ V}$, $I_E = 0$ $\eta = 0,56 \dots 0,75$ bei $U_{BB} = 10 \text{ V}$ $I_{EBO} \leq 0,02$ bei $U_{EB1} = 30 \text{ V}$ $I_P \leq 2$ bei $U_{BB} = 25 \text{ V}$, $U_{EB1} \leq \eta \cdot U_{BB}$ $I_V \geq 4$ bei $U_{BB} = 20 \text{ V}$, $R_{B2} = 100 \Omega$ $U_{Esat} = 2$ bei $U_{BB} = 10 \text{ V}$, $I_E = 50 \text{ mA}$ $I_{B2mod} = 12$ bei $U_{BB} = 10 \text{ V}$, $I_E = 50 \text{ mA}$ $U_{OB1} \leq 4$ $f \approx 200$ 	BSV 56 B $4,7 \dots 9,1$ $I_E = 0$ $0,68 \dots 0,82$ $\leq 0,2$ $\leq 0,08$ ≤ 6 ≤ 12 ≤ 25 ≤ 4 ≤ 12 ≤ 3 ≤ 200 	BSV 56 C $4 \dots 12$ $\text{k}\Omega$ $\leq 0,8$ $\leq 0,12$ μA ≤ 2 mA ≤ 12 mA ≤ 3 V ≤ 200 kHz	$U_{BB} = 35 \text{ V}$ $U_{EB1} = 60 \text{ V}$ $i_{EM} = 2 \text{ A}$ $P_{tot} = 400 \text{ mW}$ bei $t_{amb} \leq 25^\circ\text{C}$ $t_j = 125^\circ\text{C}$



Type	Kenndaten Typical characteristics			Grenzdaten Maximum ratings
BSV 57 A BSV 57 B BSV 57 C <p>Silizium-Unijunction-Transistoren, besonders zur Ansteuerung von Thyristoren</p> <p>Silicon unijunction transistors, especially for controlling thyristors</p> <p>Größe • Outlines 54</p>	BSV 57 A $R_{BB} = 4,7 \dots 9,1$ bei $U_{BB} = 3 \text{ V}$, $I_E = 0 \text{ mA}$ $\eta = 0,56 \dots 0,75$ bei $U_{BB} = 10 \text{ V}$ $I_{EBO} \leq 0,02$ bei $U_{EB1} = 30 \text{ V}$ $I_P \leq 2$ bei $U_{BB} = 25 \text{ V}$, $U_{EB1} \leq \eta \cdot U_{BB}$ $I_V \geq 4$ bei $U_{BB} = 20 \text{ V}$, $R_{B2} = 100 \Omega$ $U_{Esat} = 2$ bei $U_{BB} = 10 \text{ V}$, $I_E = 50 \text{ mA}$ $I_{B2mod} = 12$ bei $U_{BB} = 10 \text{ V}$, $I_E = 50 \text{ mA}$ $U_{OB1} \leq 4$ $f \approx 200$	BSV 57 B $4,7 \dots 9,1$ $I_E = 0 \text{ mA}$ $0,68 \dots 0,82$ $\leq 0,2$ $\leq 0,08$ ≤ 6 ≤ 12 ≤ 25 ≤ 4 ≤ 12 ≤ 3 ≤ 200	BSV 57 C $4 \dots 12$ $\text{k}\Omega$ $0,47 \dots 0,8$ $\leq 0,12$ μA ≤ 2 mA ≤ 12 mA ≤ 3 V ≤ 200	$U_{BB} = 35 \text{ V}$ $U_{EB1} = 60 \text{ V}$ $i_{EM} = 1,5 \text{ A}$ $P_{tot} = 300 \text{ mW}$ bei $t_{amb} \leq 25^\circ\text{C}$ $t_j = 125^\circ\text{C}$



Type	Kenndaten Typical characteristics		Grenzdaten Maximum ratings
BSV 58 A	BSV 58 A	BSV 58 B	
BSV 58 B			
Programmierbare Silizium-Unijunction-Transistoren, besonders zur Ansteuerung von Thyristoren	$U_{GKO} \leq 40$	≤ 40	V
	I_{GKO}	≤ 5	V
	$U_{GAO} \leq 40$	≤ 40	V
	I_{KAO}	≤ 40	V
Programmable silicon unijunction transistors, especially for controlling thyristors	$I_P \leq 1$	≤ 5	μA
	$V_T = 0,2...0,6$	$0,2...1,6$	V
	$V_T = 0,2...0,6$	$0,2...0,6$	V
	$I_V \leq 25$	≤ 50	μA
	$I_V \leq 25$	≤ 70	μA
Größe · Outlines 55	$I_{GKR} \leq 100$	≤ 100	nA
	$U_F \leq 1,5$	$\leq 1,5$	V
	$U_0 \leq 6$	≤ 6	V
			$U_{GKO} = 40 V$
			$U_{KGO} = 5 V$
			$U_{GAO} = 40 V$
			$I_{KAO} = 40 V$
			$I_{FOL} = 150 mA$
			$I_{FPL} = 2 A$
			$I_{GT} = 20 mA$
			$P_{tot} = 300 mW$
			t_j bei $t_{amb} \leq 25^\circ C$
			$= 125^\circ C$



AHY 10 A	AHY 10 B
AHY 10 B	
Germanium-Magnetdiode für Schaltanwendungen	U_R bei $I_R = 0,5 mA$
	≥ 10
	I_F bei $U_B = 8 V$
	$0,7...1$
	I_F bei $U_B = 12 V$
	$1,5...2$
	E_m bei $U_B = 8 V$, $B_M = -1 kG$
	$0,75...1$
	E_m bei $U_B = 12 V$, $B_M = 1 kG$
	$1,5...2$
	U_M bei $U_B = 8 V$, $B_M = 0 kG$
	$3,75...4,25$
Kunststoffgehäuse Plastic case	$3,75...4,25$
Abmessungen · Outlines $4 \times 2 \times 2$ mm	V/kG

AHY 10 A	AHY 10 B
	$U_R = 10 V$
	$P_V = 130 mW$
	bei $t_{case} \leq 33^\circ C$
	$t_j = 100^\circ C$